

光片荧光显微镜

Light-sheet Fluorescence Microscopy

畅星兆

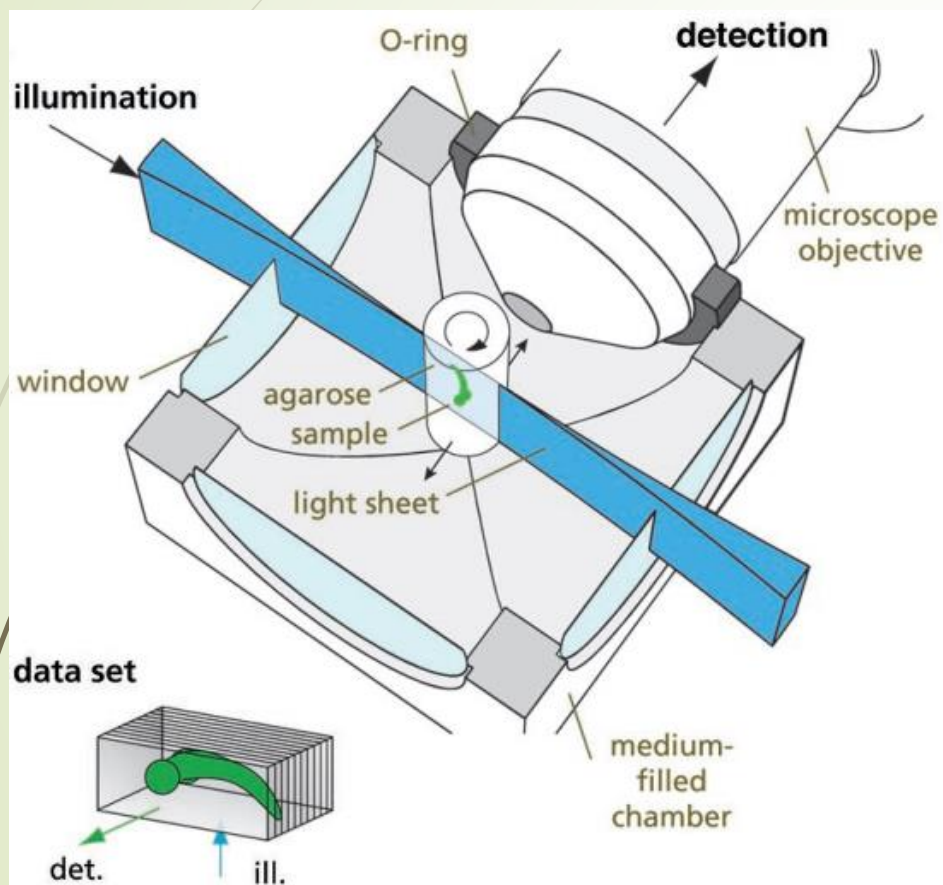
日期：2018.11.28



目录

- ➡ LSFM的变种 (Variants)

光片荧光显微镜



光片荧光显微镜（又称 light sheet fluorescence microscopy, LSFM; 或者 selective plane illumination microscopy, SPIM）

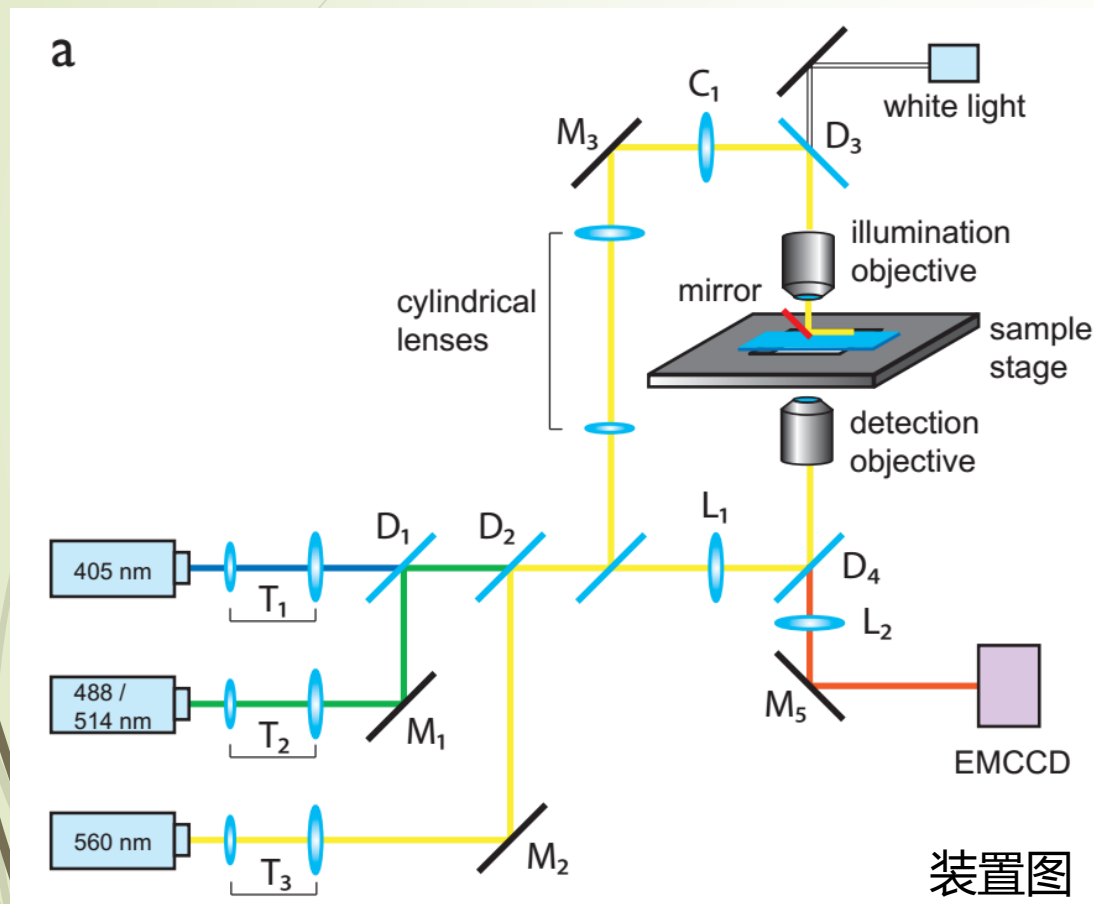
LSFM共包含两束光路，分别是照明光路（illumination）和探测光路（detection）。照明光路用来产生光片状结构光，探测光路用来收集荧光分子释放出的荧光信号，再通过扫描，便可以实现对样品的三维扫描成像。



之后，根据观测样品尺寸、时间空间分辨率等要求的不同以及某些特殊需要，产生了不同的显微镜变种。以下是几个光片荧光显微镜的变种。

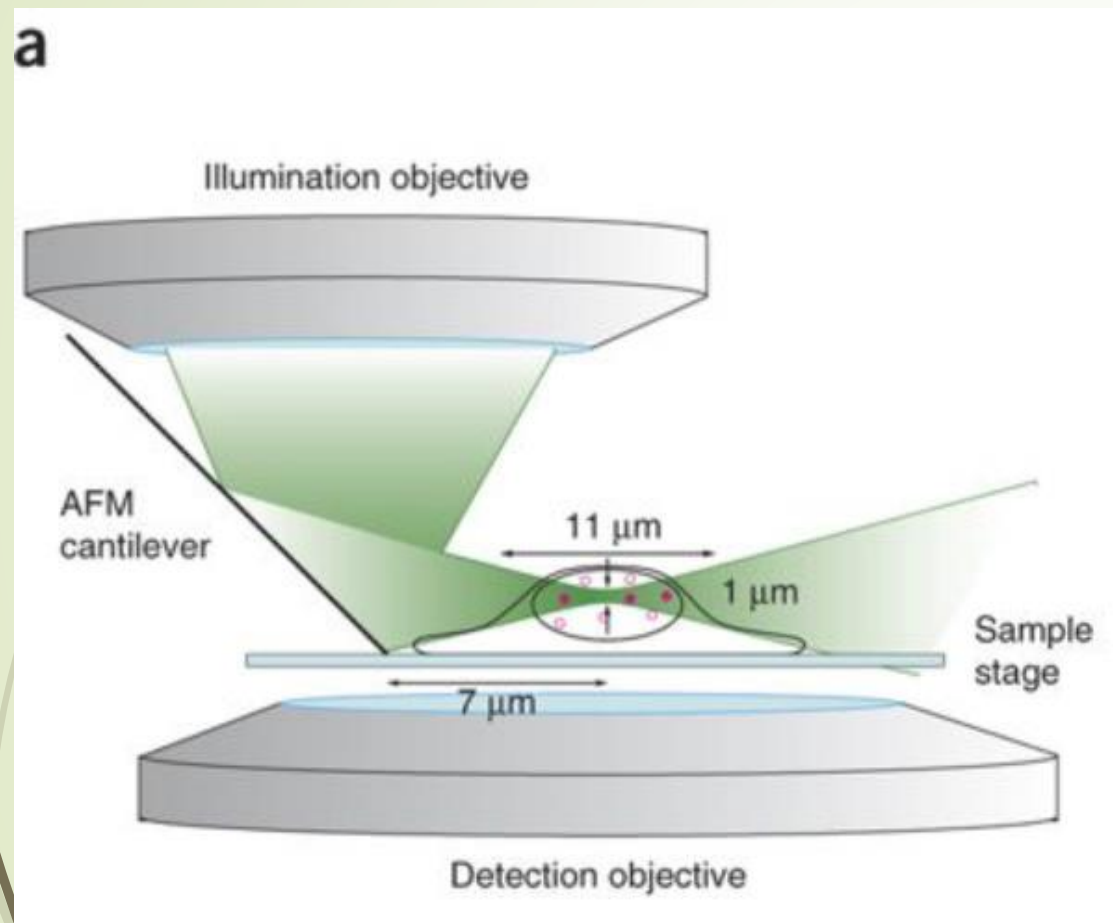
- RLSM (Reflected light sheet microscope)
- soSPIM (Single-objective selective plane illumination microscopy)
- APOM (axial plane optical microscopy)
- IML-SPIM (individual molecule localization-selective plane illumination microscopy)
- π SPIM
- FCS (Fluorescence correlation spectroscopy)
- DSLM (digital scanned laser light sheet fluorescence microscopy)
- Bessel beam plane illumination microscope
- iSPIM (Inverted selective plane illumination)

1. Reflected Light Sheet Microscope (RLSM)

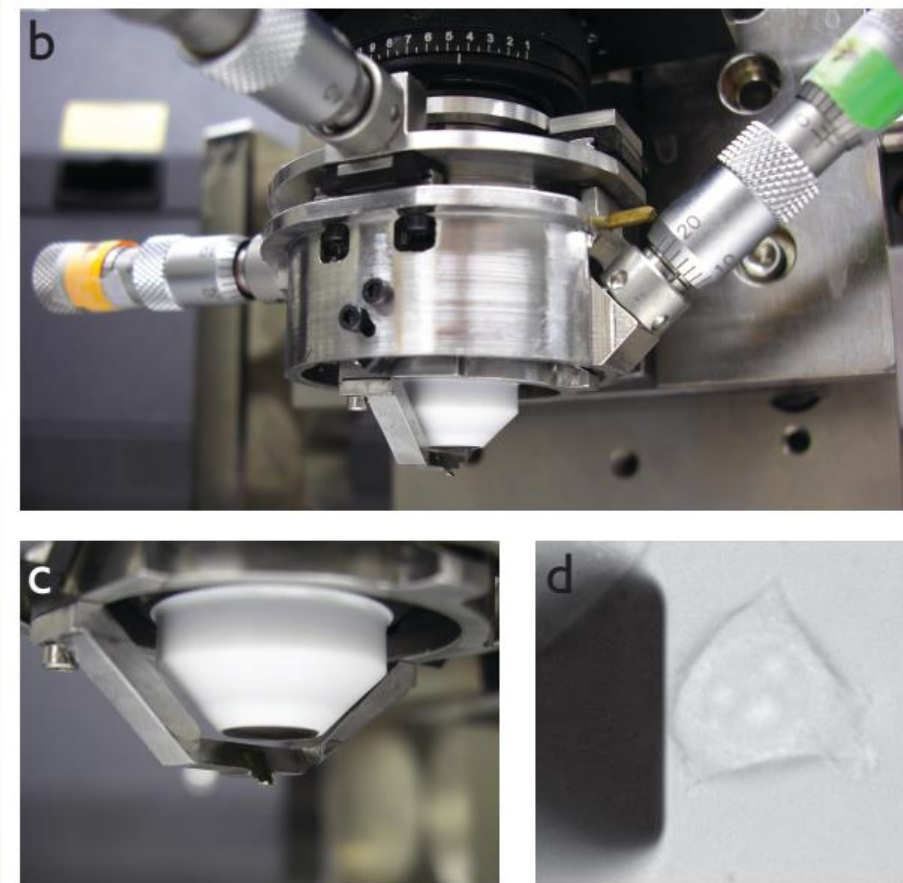


在普通的LSFM结构中，照明物镜与探测物镜相对于待测样品正交放置，这限制了高数值孔径物镜的使用。

RLSM通过用反射镜将从顶部入射的光片反射，使得两个物镜可以相向放置，从而解决了上述问题。

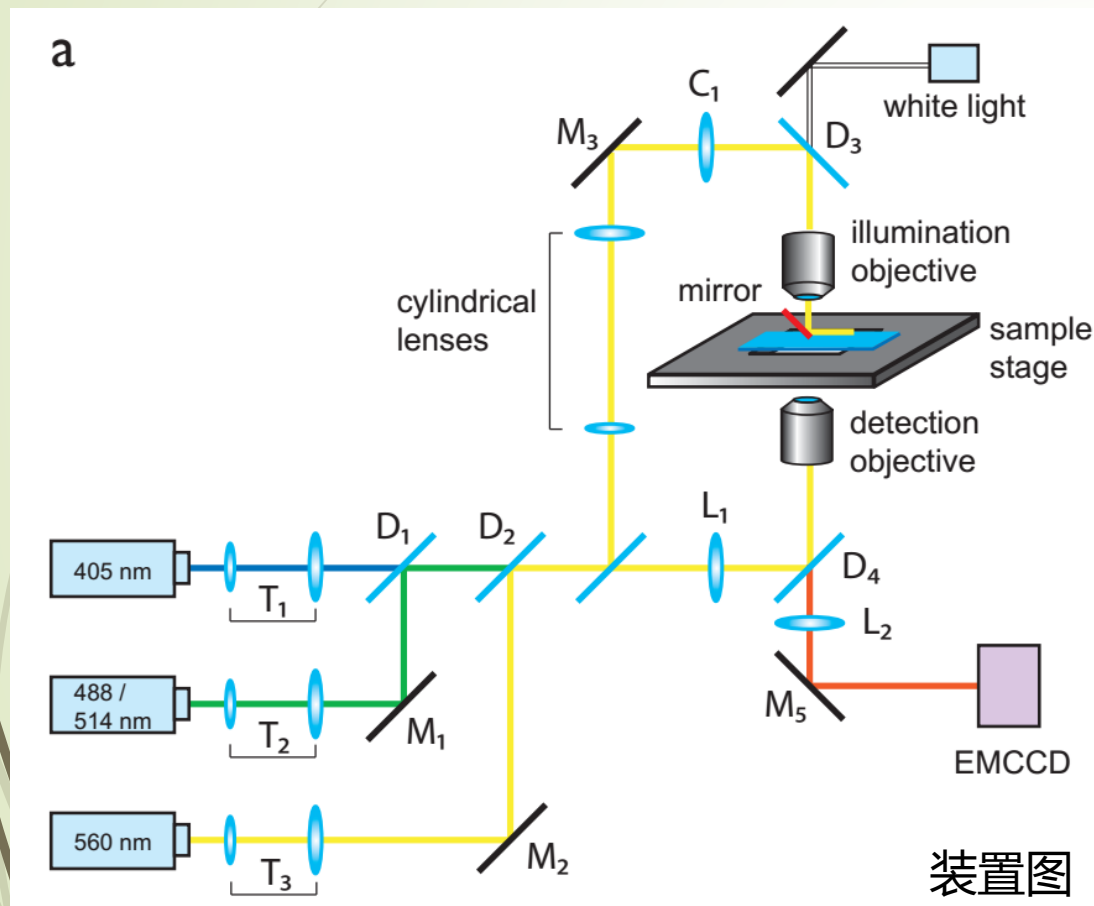


样品处光束图



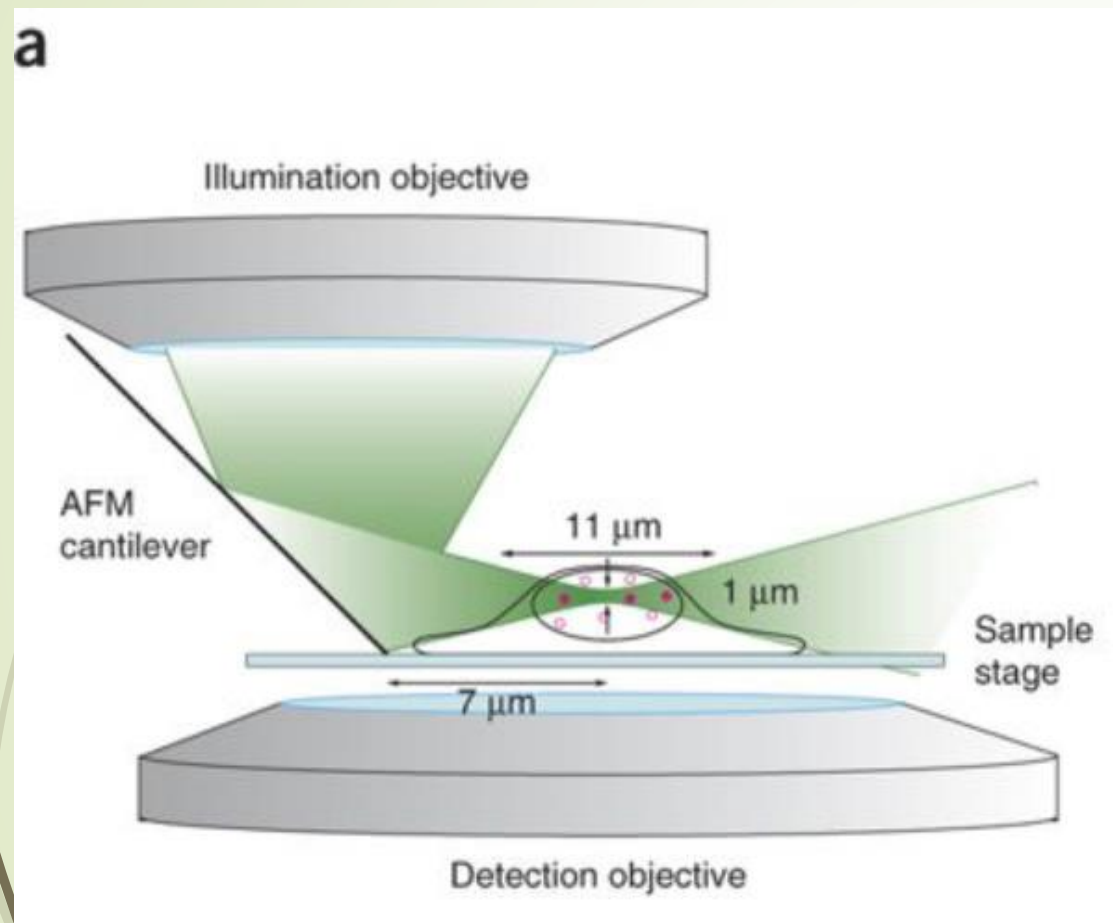
AFM Cantilever

1. Reflected Light Sheet Microscope (RLSM)

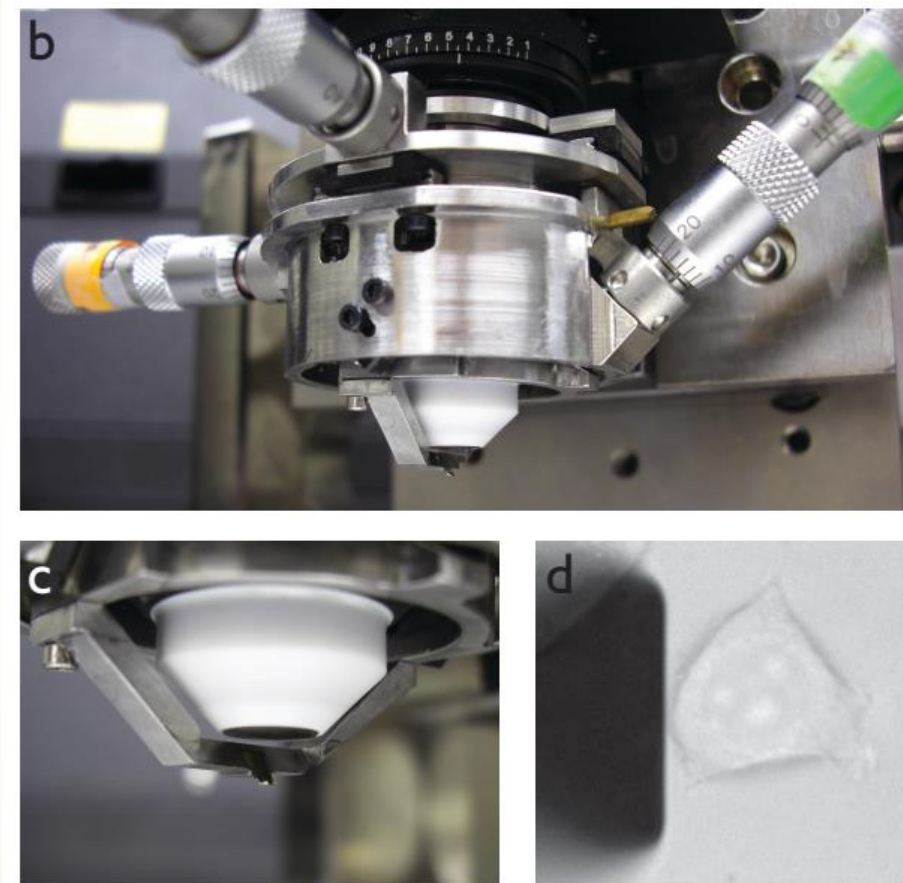


在普通的LSFM结构中，照明物镜与探测物镜相对于待测样品正交放置，这限制了高数值孔径物镜的使用。

RLSM通过用反射镜将从顶部入射的光片反射，使得两个物镜可以相向放置，从而解决了上述问题。



样品处光束图



AFM Cantilever

1 装置

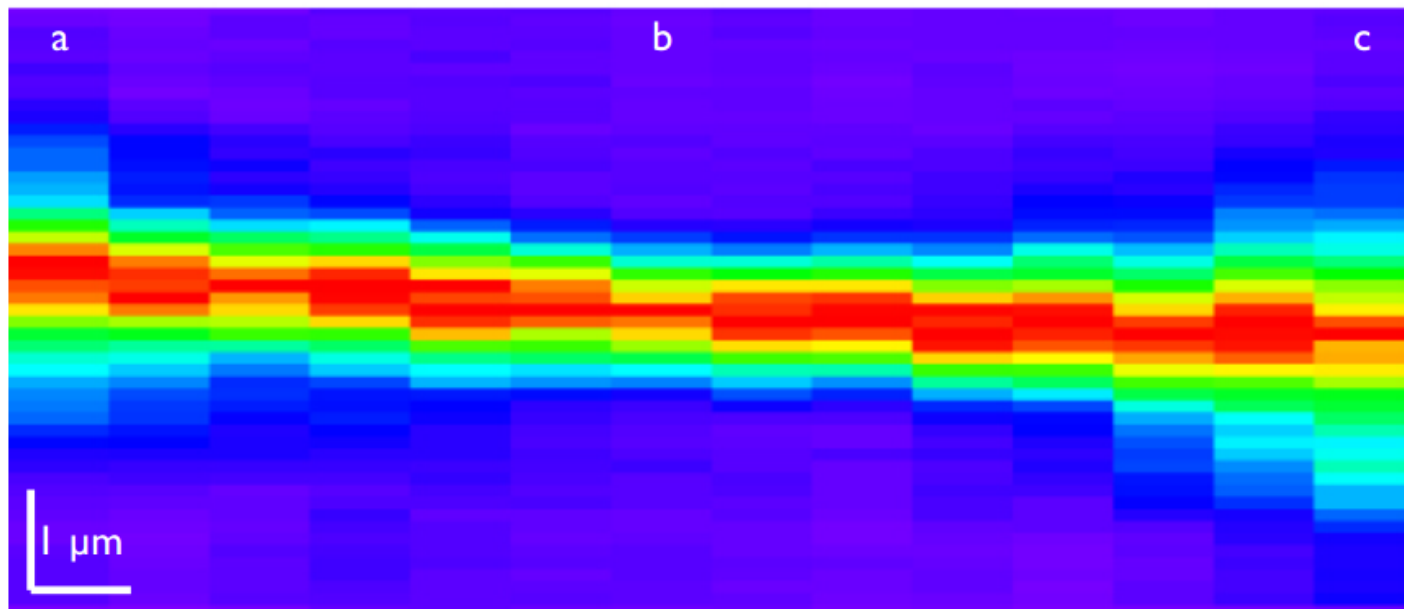
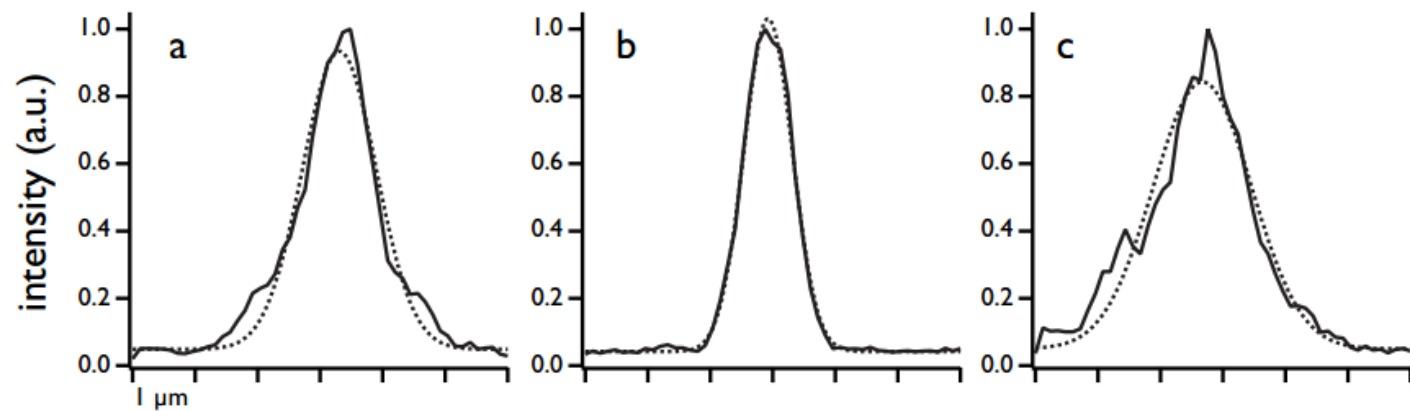
- 模板: IX71, Olympus
- 光源: 405 nm, 50 mW, Electra-40, Laserglow; 488/514nm, 1000 mW, Innova300, Coherent; 560 nm, 1000 mW, VFL-P-1000-560, MPB communications
- 扩束: $f = 40$ mm, LJ1402L1-A and $f = 400$ mm, LJ1363L1-A, both Thorlabs
- 照明物镜: LUMPLFLN 40x Water, NA 0.8, Olympus
- 探测物镜: UPlanApo 100x 1.35 Oil or UPlanSApo 100x 1.4 Oil, both Olympus
- EMCCD: iXon+, DU-897E-CSO-BV, Andor
- 扫描: Nano-Bio3200, Mad City Labs

1 软件控制

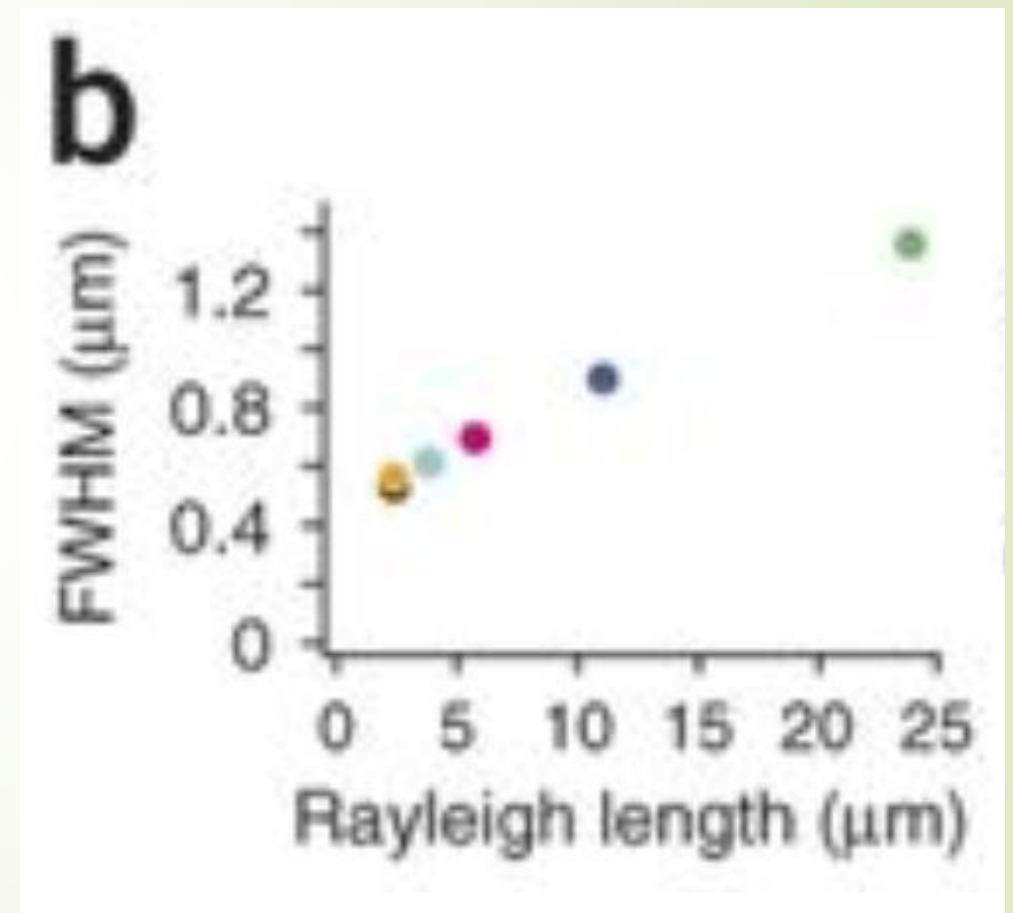
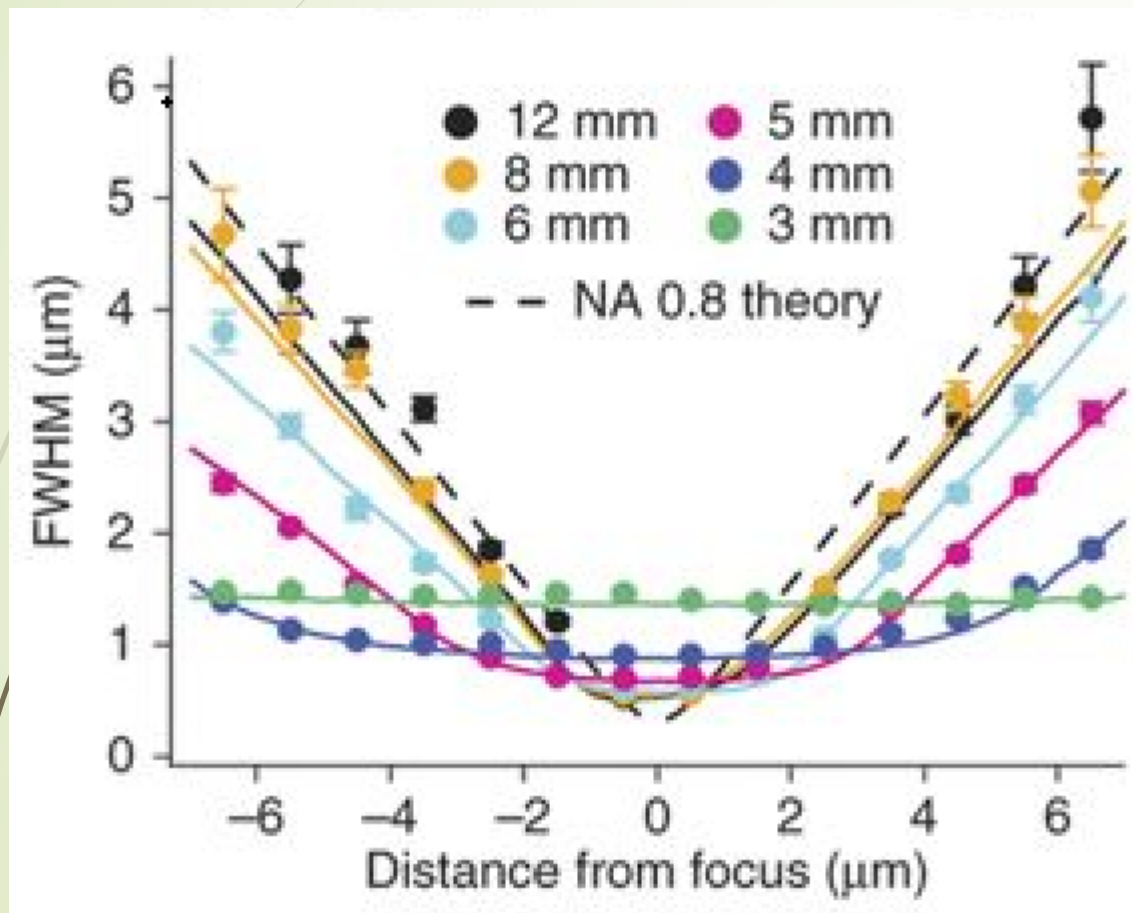
- ➡ LabView: 样品扫描
- ➡ MetaMorph Software: 控制显微镜, 快门, EMCCD相机

光片特性

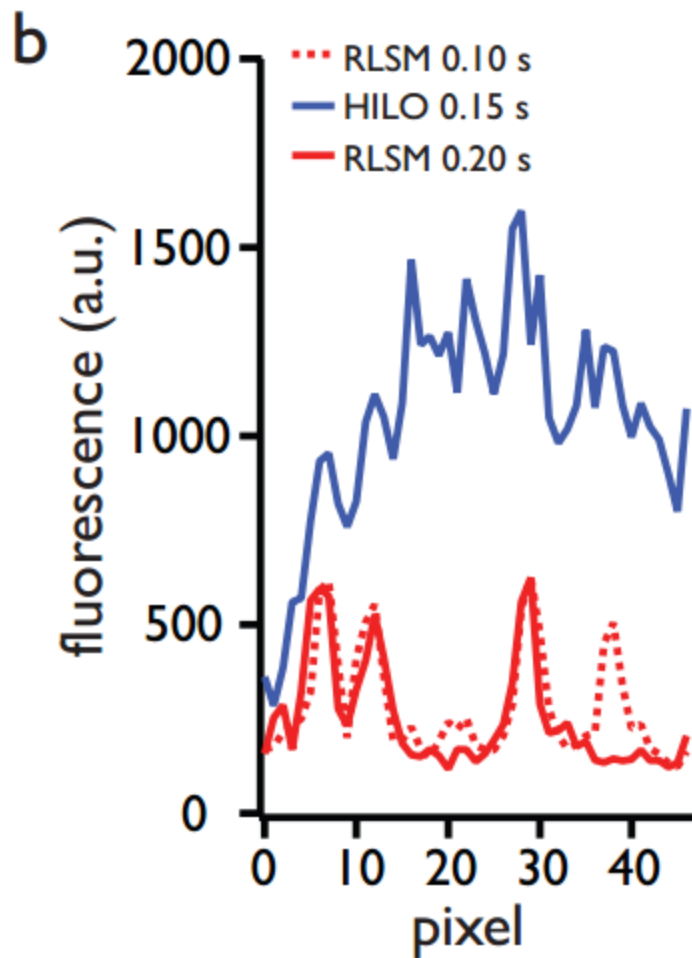
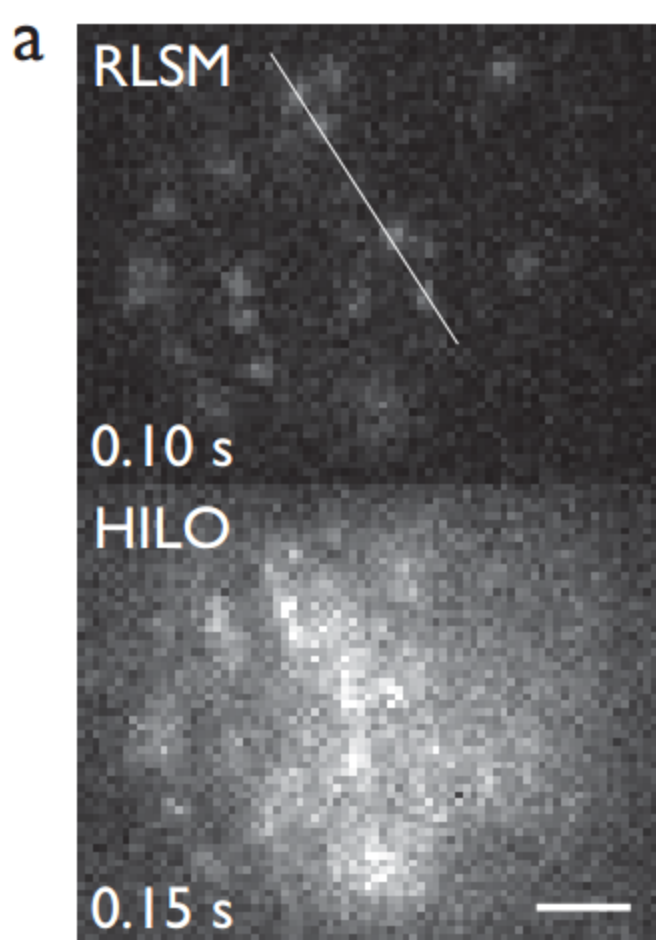
方法：
荧光珠（fluorescent bead）扫描



光片特性




结果图



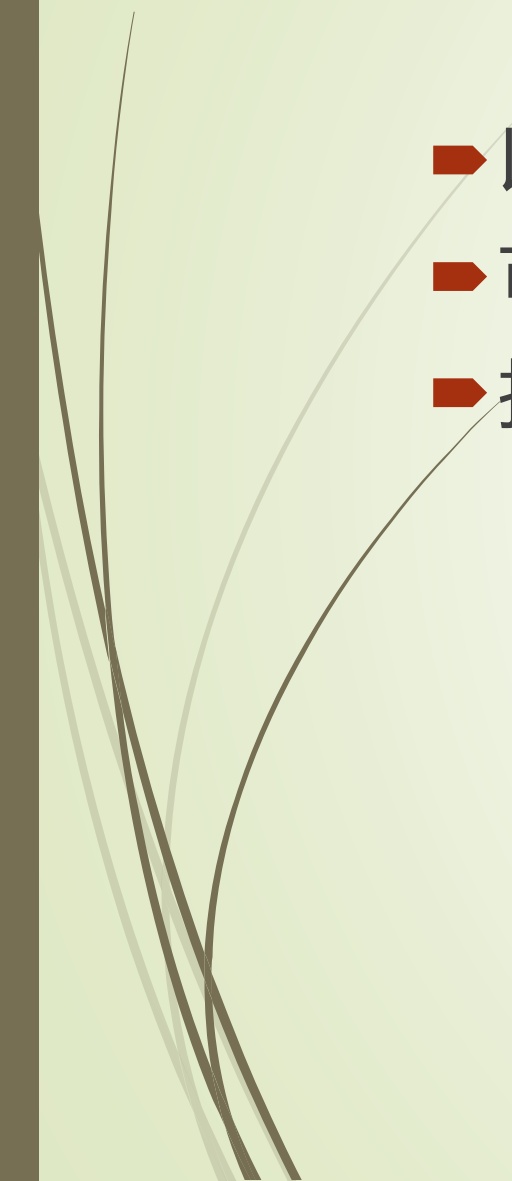
采用RLSM HILO两种方法
对同一样本成像

RLSM的背景光大大减小

RLSM可以清晰地分辨出三
个荧光蛋白的存在



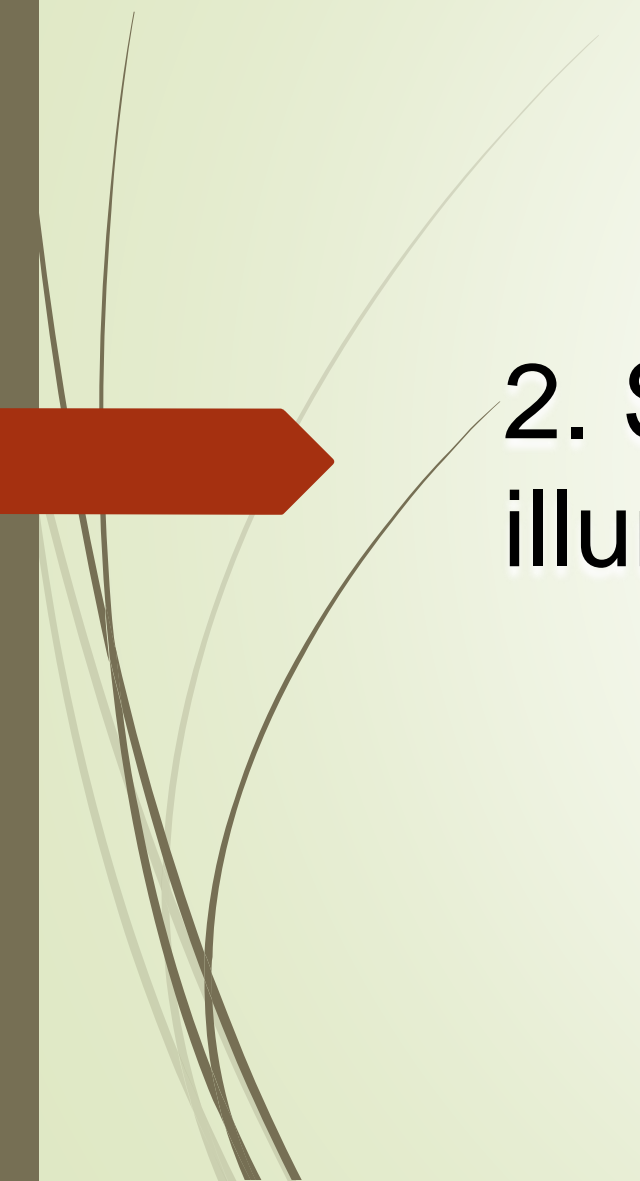
特点

- ➡ 以倒置型显微镜为模板
 - ➡ 可以使用标准的生物样本
 - ➡ 扫描通过样本的移动完成（压电陶瓷平台）
- 



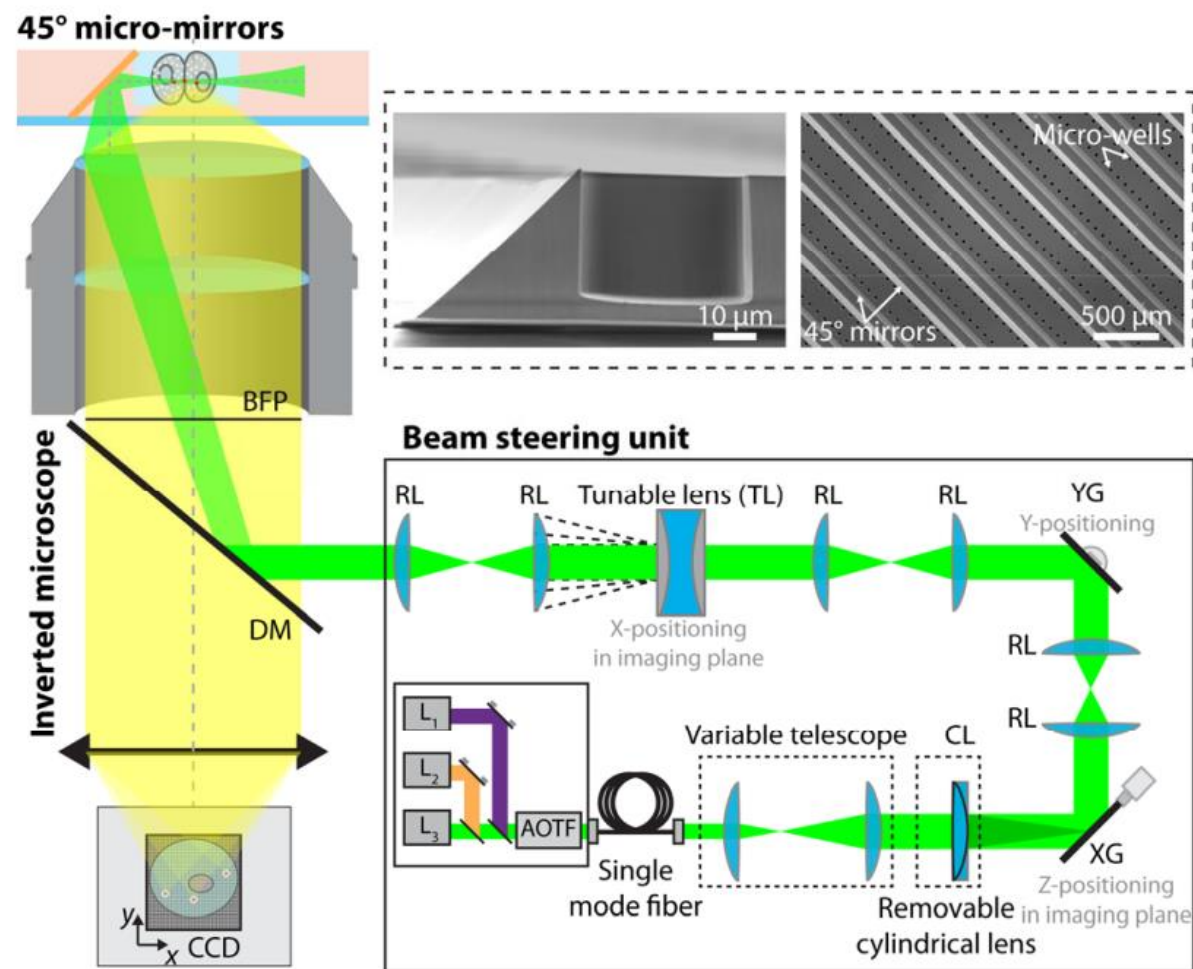
优势

- 照明物镜与探测物镜均可以使用高数值孔径物镜



2. Single-objective selective-plane illumination microscopy (soSPIM)

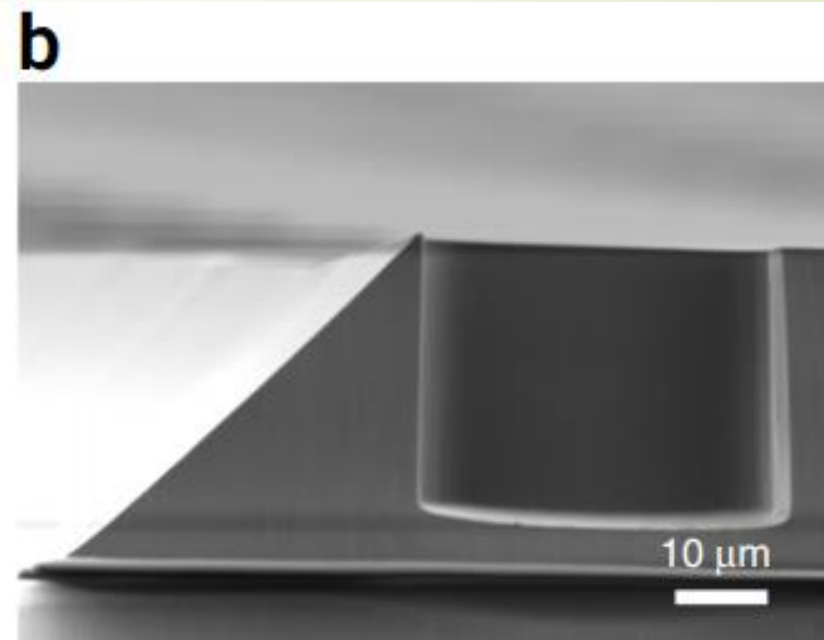
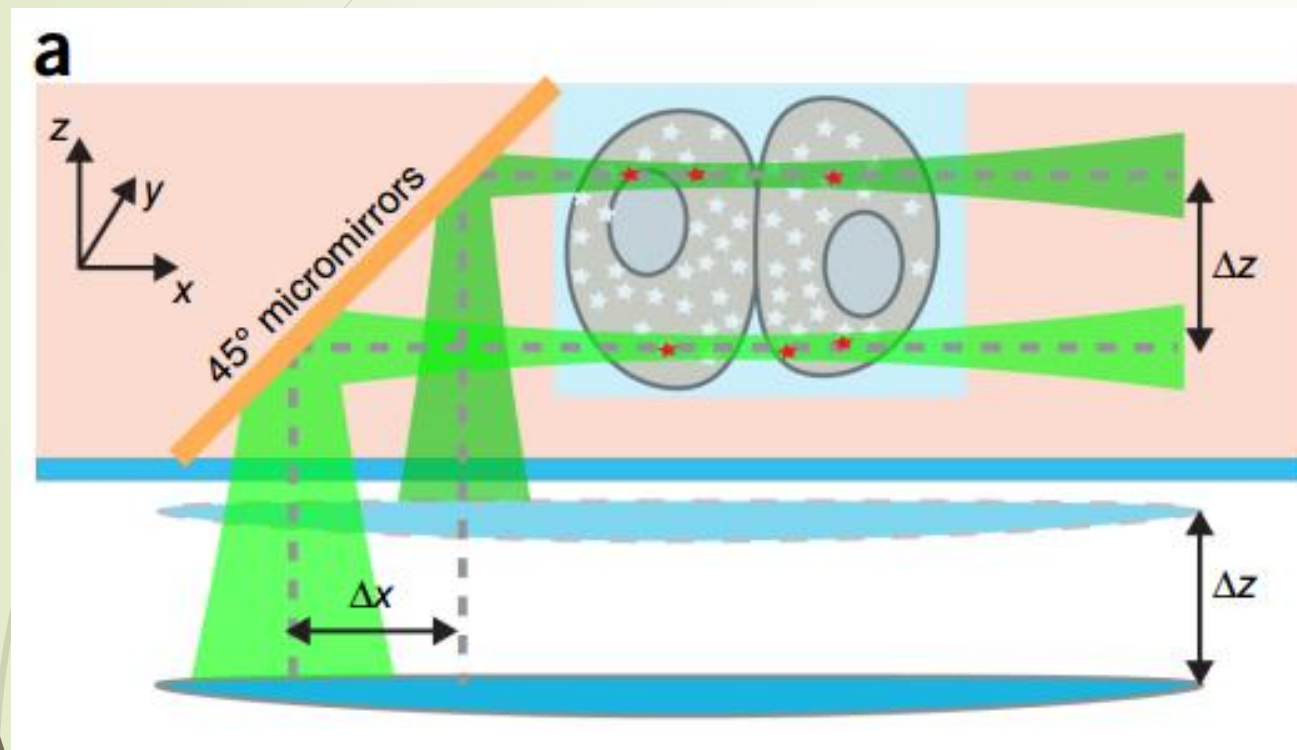
装置图



Supplementary Figure 1

soSPIM principle and representation of the soSPIM beam-steering unit.

装置图



装置

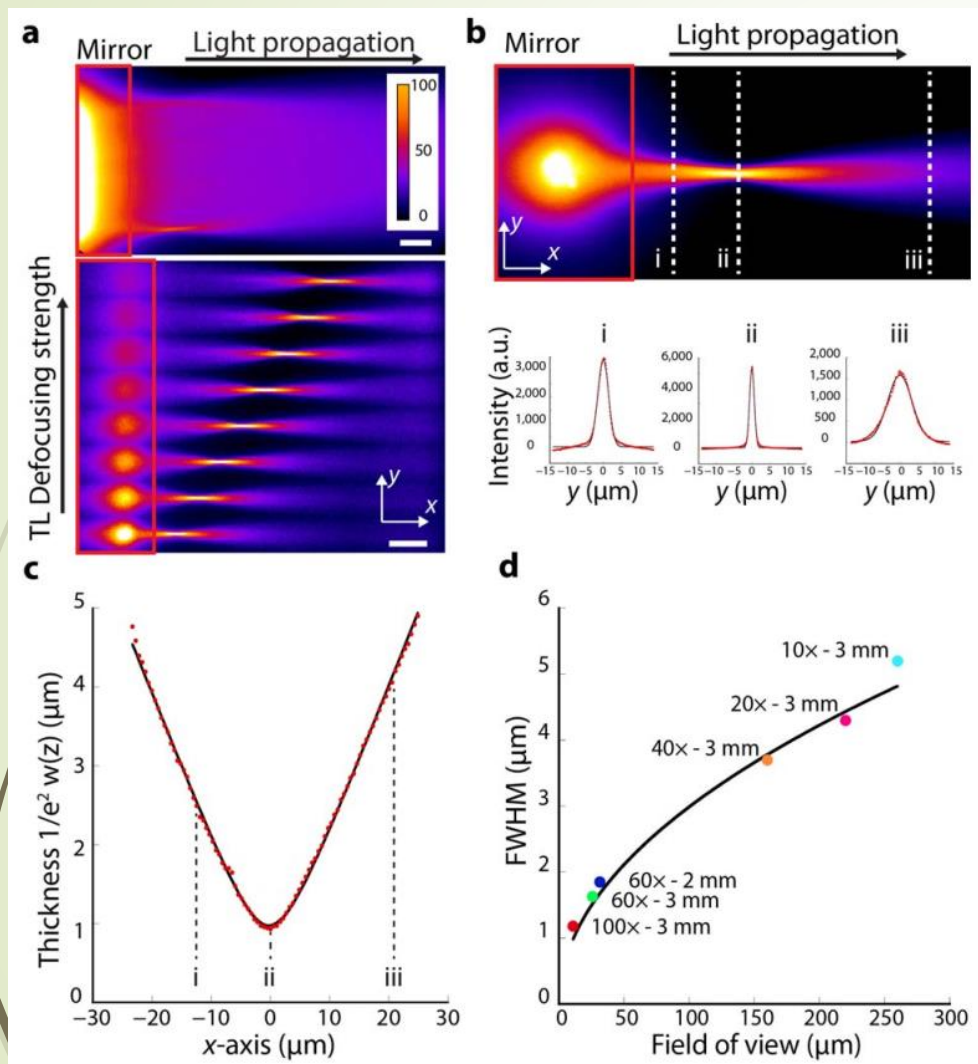
- 模板: Nikon Ti-E
- 光源: 405 nm(200 mW; Errol), 488 nm (200 mW; Coherent), 561 nm (200 mW; Coherent) and 635 nm (150 mW; Errol))
- 扩束: AC254-050-A, Thorlabs (focal length of 50 mm), and AC254-75-A, Thorlabs (focal length of 75 mm)
- 光片形成: a cylindrical lens (ACY254-150-A, Thorlabs; focal length of 150 mm)
- 照明物镜 (探测物镜) : CFI Plan Apochromat VC 60 \times /1.2- NA water-immersion objective or a CFI Plan Apochromat VC 100 \times /1.4-NA oil-immersion objective, Nikon. CFI Plan Fluor 10 \times /0.3-NA, CFI Plan Fluor 20 \times /0.5-NA or CFI Plan Fluor 40 \times /0.75-NA objective, Nikon
- EMCCD/cMOS: Evolve 512, Photometrics/ Neo 5.5, Andor (单细胞、高分辨率建议使用EMCCD)



软件控制

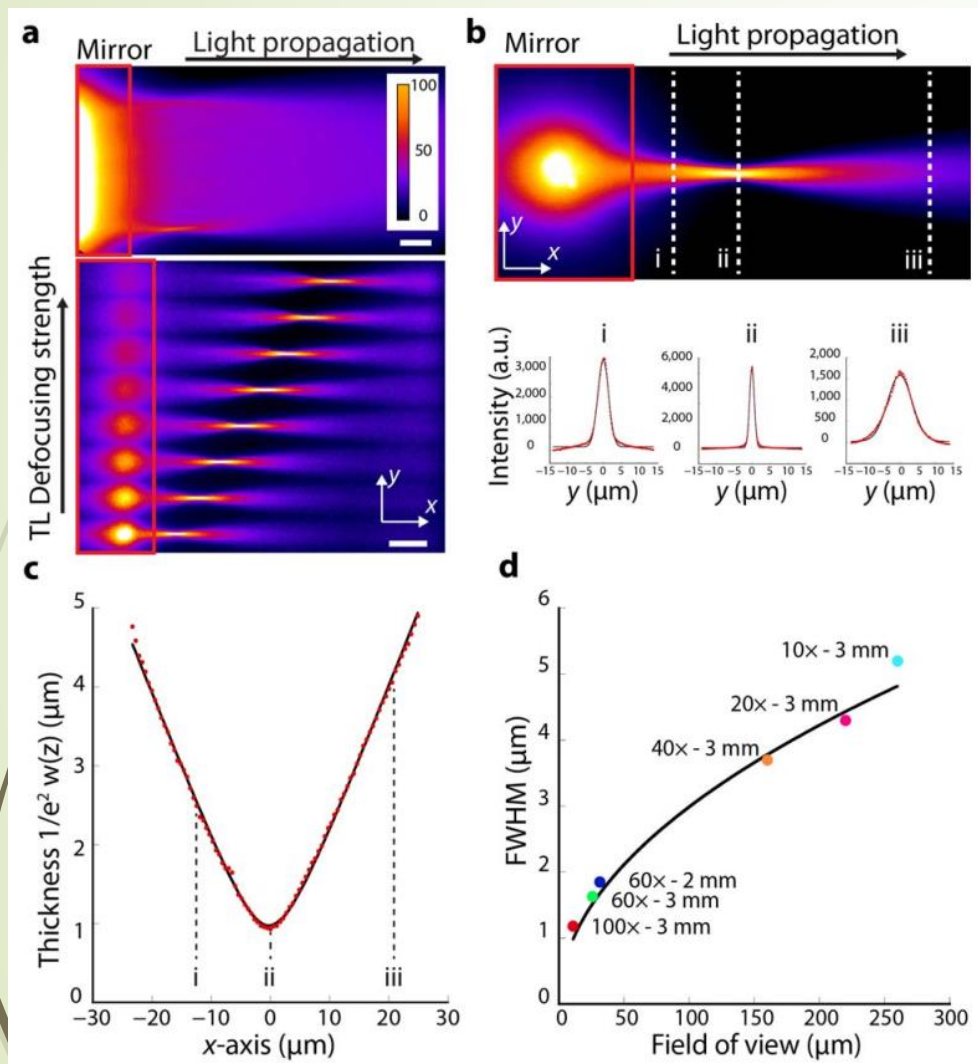
- LasershowDesigner (Pangolin Laser Systems) : 控制扫描
- MetaMorph Software: 图像重建、实现3D扫描

光片特性



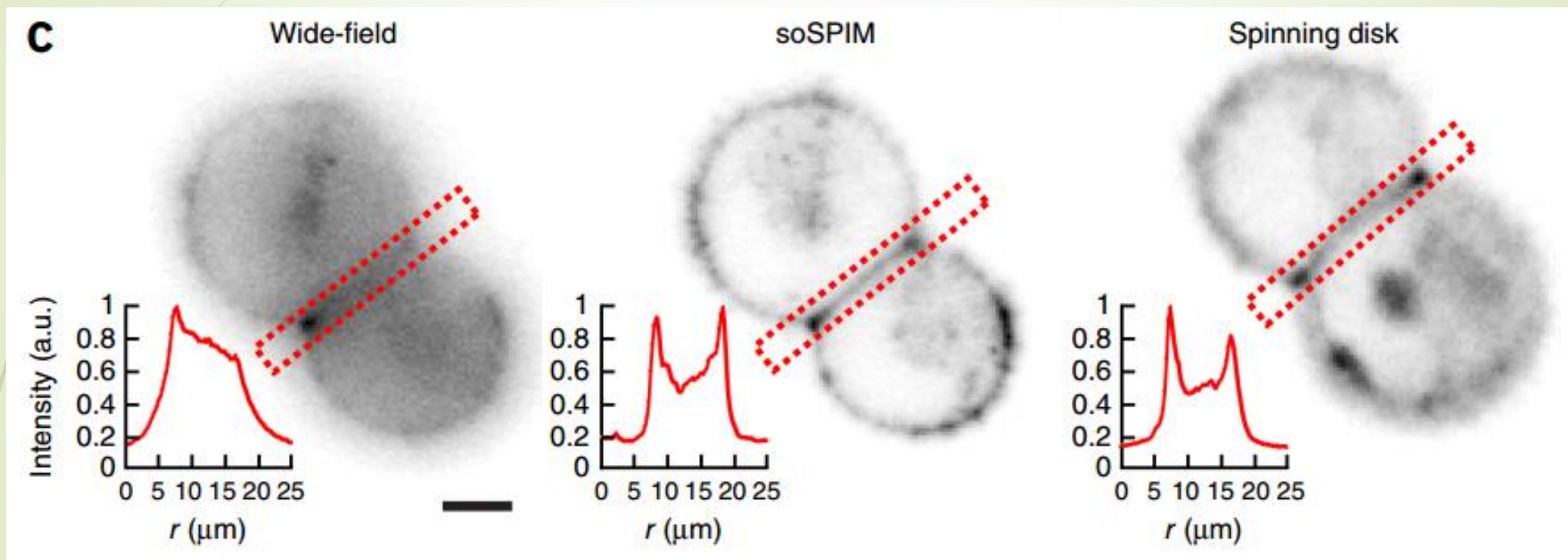
方法：
荧光溶液（fluorescent solution）扫描

光片特性

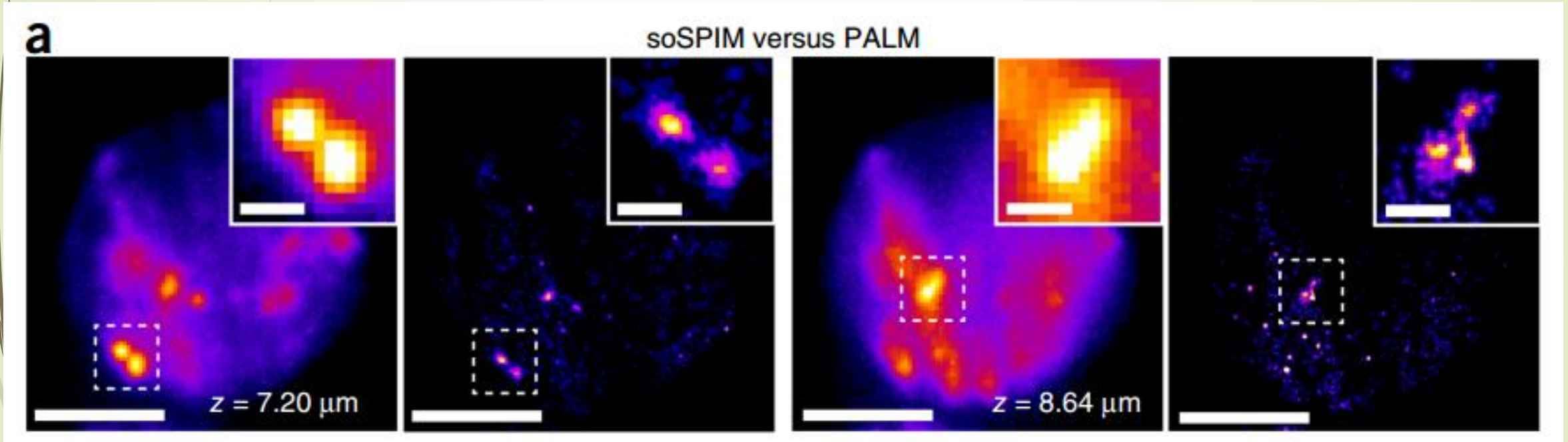


方法：
荧光溶液（fluorescent solution）扫描

切片能力



结合超分辨显微成像




从左侧起，第一幅第三幅图像为soSPIM采集所得图像，第二幅第四幅图像为soSPIM结合PALM超分辨显微技术所得图像
理论分辨率：40nm

其他信息

下表给出了6种显微镜形成光片的厚度以及瑞利长度（保持一定厚度的光片长度），其中第一行e为光片束腰处的光片厚度

| Method | | IML-SPIM | Bessel-Beam | iSPIM | RSLM | LSBM | Lattice light-sheet |
|-------------|----------------------------|-------------|-------------|-------|------|------|---------------------|
| Light-sheet | e (μm) | 1.8 to 4 | 0.5 to 1 | 1.2 | 1 | 1.8 | 1 |
| | ω (μm) | 41.7 to 206 | 40 | 18.5 | 11 | 14 | 50 |



特点

- ➡ 以倒置型显微镜为模板
- ➡ 可以使用标准的生物样本
- ➡ (optional)结合了超分辨显微技术 (PALM, STORM, etc.)

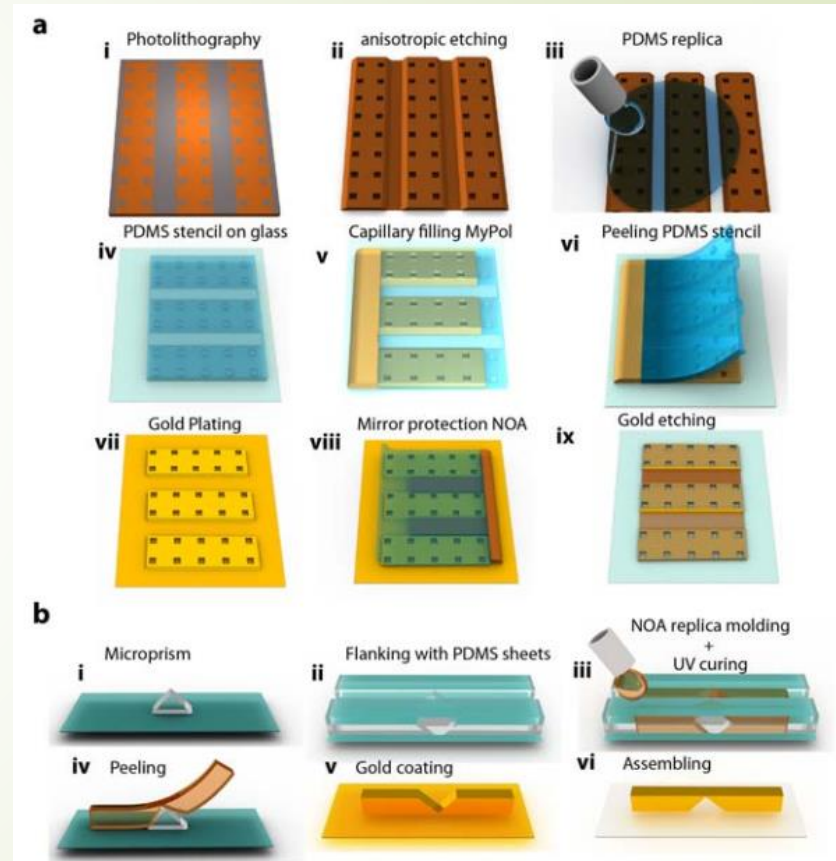


优势

- 照明物镜与探测物镜均可以使用高数值孔径物镜

不足

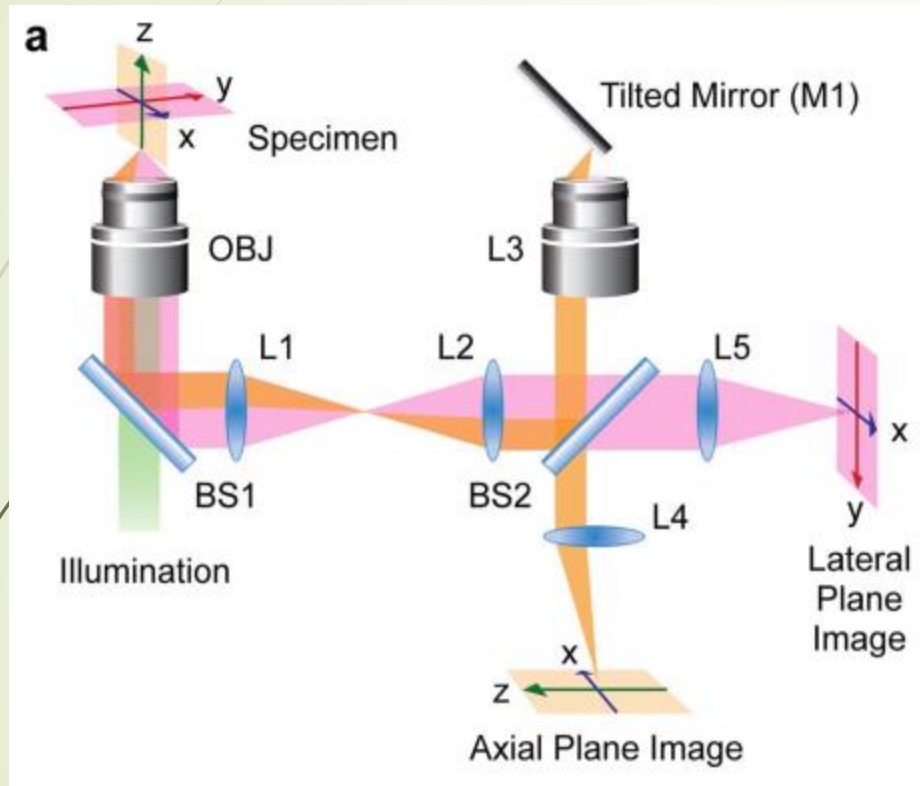
- ➡ 成像质量受反射镜表面粗糙度影响
- ➡ 反射镜制造过程复杂（如图）



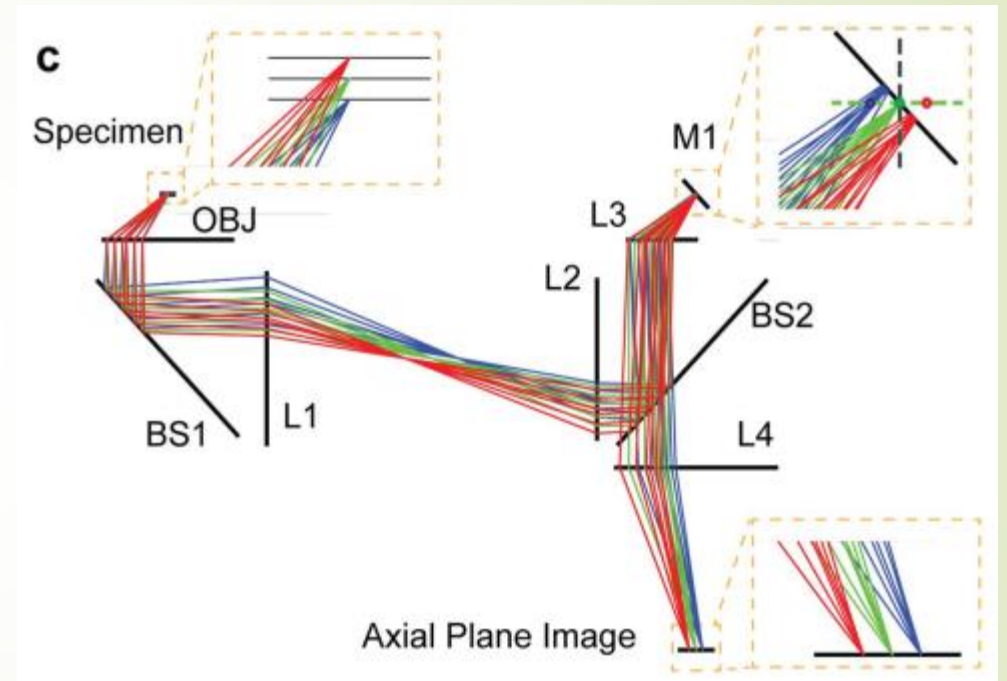


3. Axial Plane Optical Microscopy (APOM)

装置图



装置图

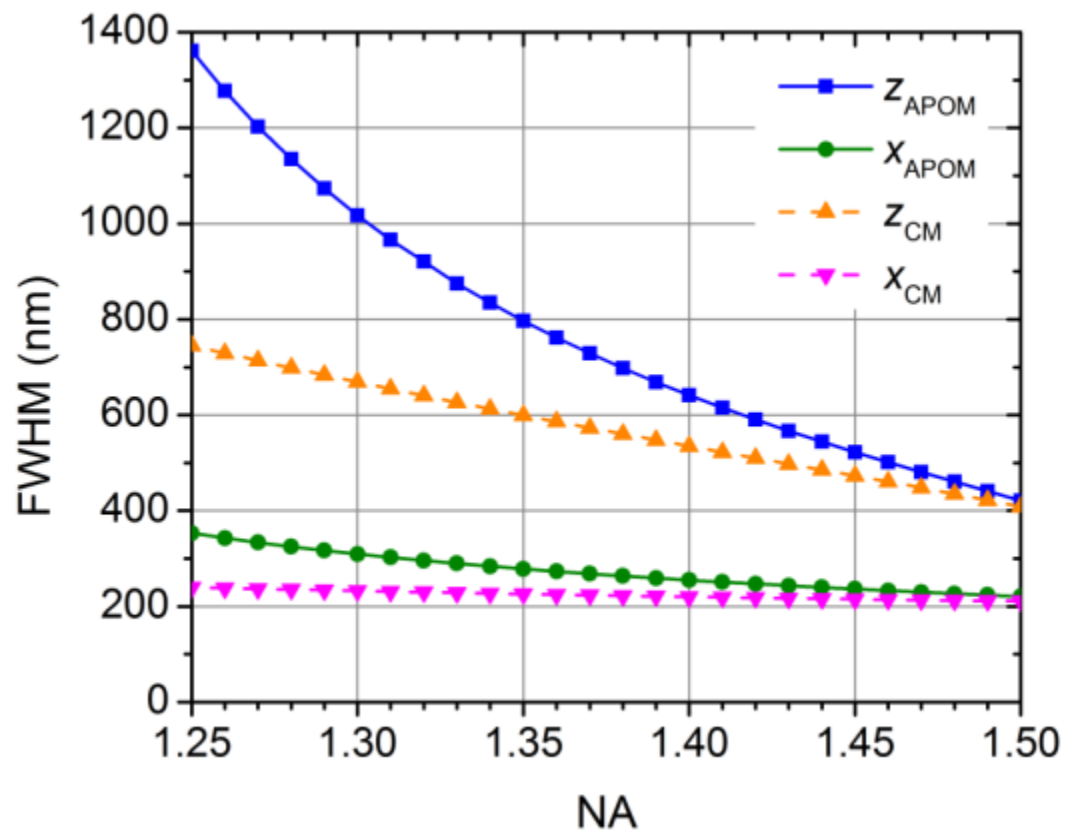


仿真图

装置

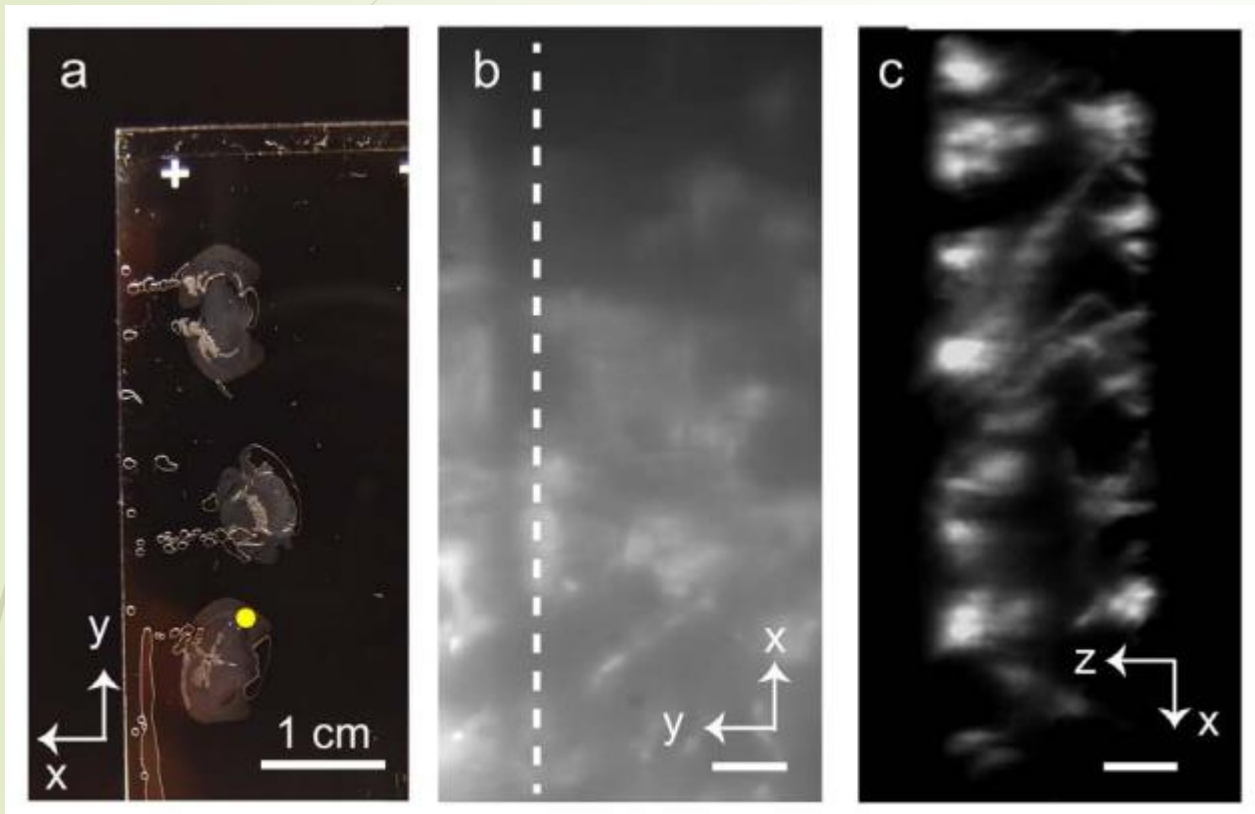
- 光源: 532 nm laser
- 扩束: $f=15$ mm and $f=200$ mm
- 照明物镜 (探测物镜) : Zeiss PlanApochromat 1003/NA 1.4 oil immersion objective lenses
- EMCCD: Luca R EMCCD , Andor

性能参数

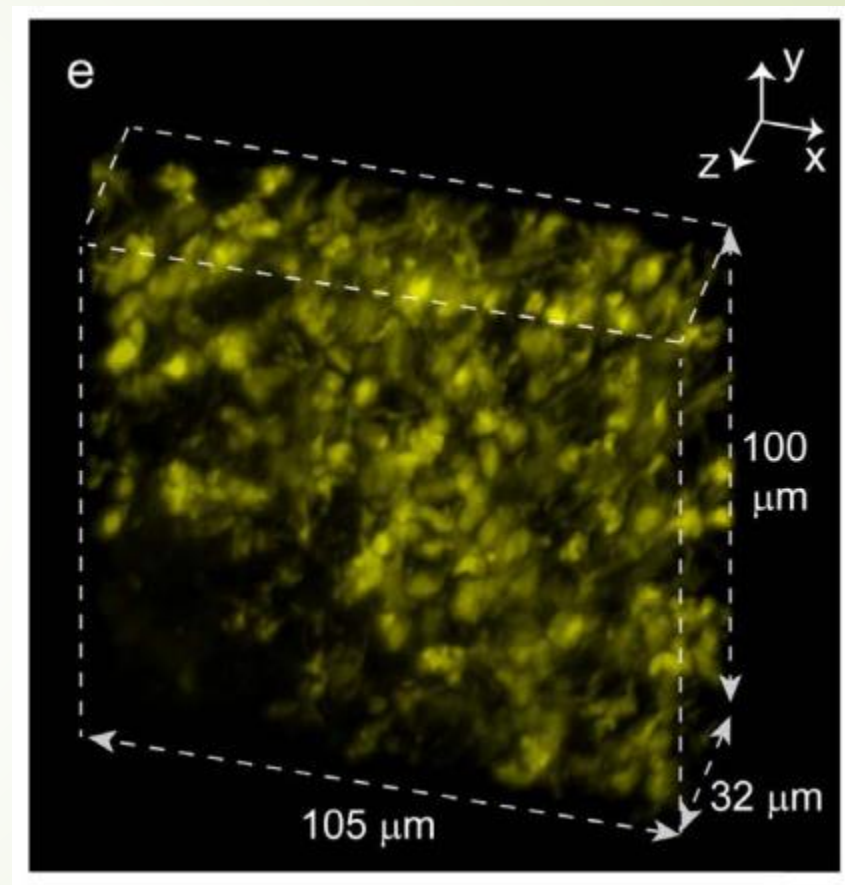


APOM与普通的宽场显微镜的光片在束腰处的半高全宽 (FWHM) 与物镜的数值孔径的函数关系。

性能参数

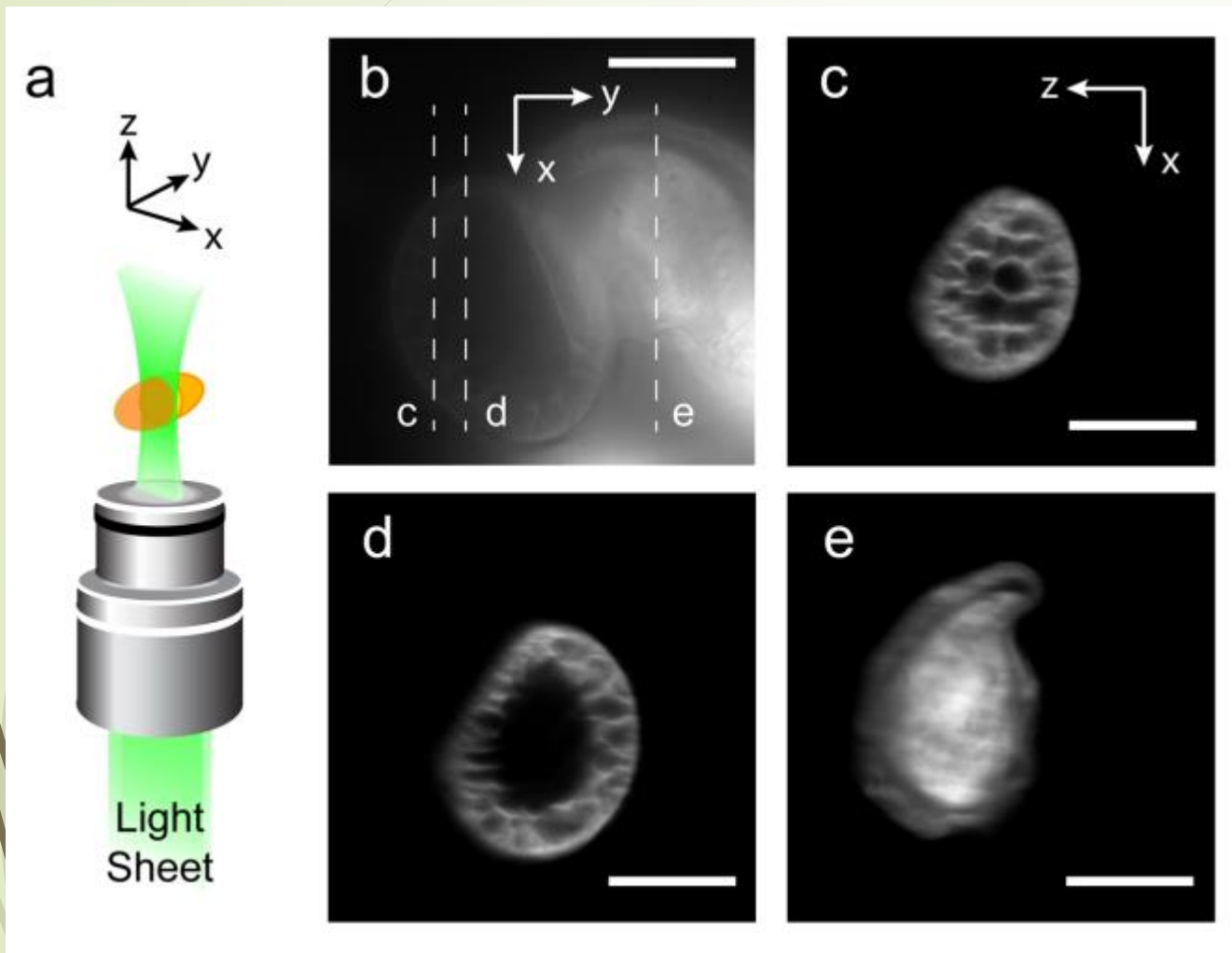


a,b: lateral; c: axial



3D

性能参数




b: lateral image by wide-field microscopy,
c, d, e: axial plane image in b

其他信息

下表给出了6种显微镜形成光片的厚度以及瑞利长度（保持一定厚度的光片长度），其中第一行e为光片束腰处的光片厚度

| Method | | IML-SPIM | Bessel-Beam | iSPIM | RSLM | LSBM | Lattice light-sheet |
|-------------|----------------------------|-------------|-------------|-------|------|------|---------------------|
| Light-sheet | e (μm) | 1.8 to 4 | 0.5 to 1 | 1.2 | 1 | 1.8 | 1 |
| | ω (μm) | 41.7 to 206 | 40 | 18.5 | 11 | 14 | 50 |



特点

- ➡ 可以直接得到轴向图像

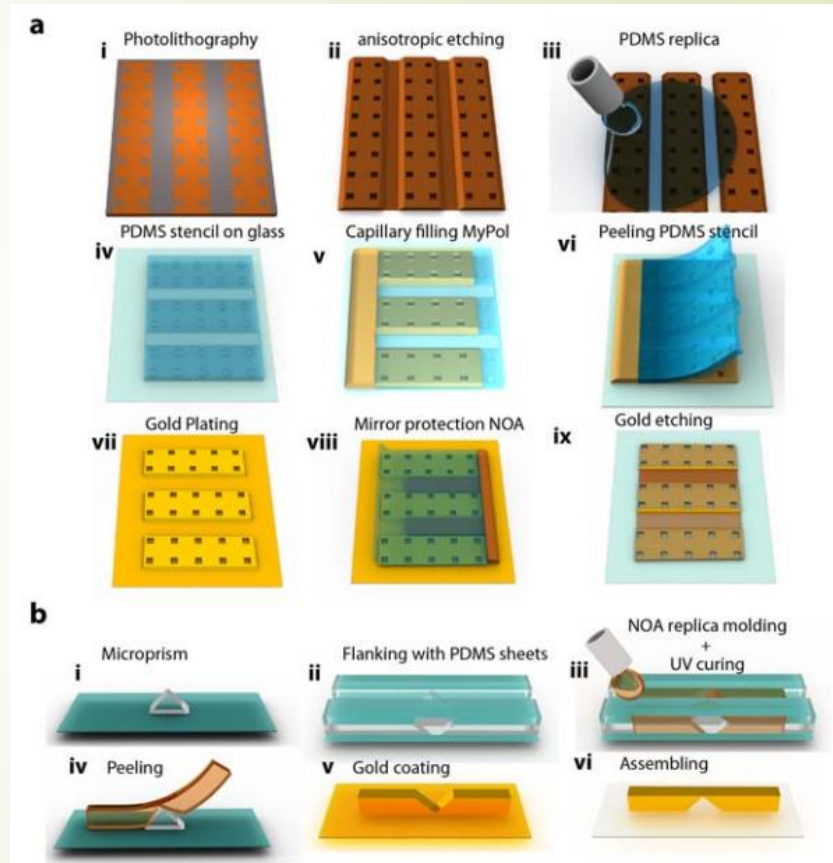



优势

- 照明物镜与探测物镜均可以使用高数值孔径物镜

不足

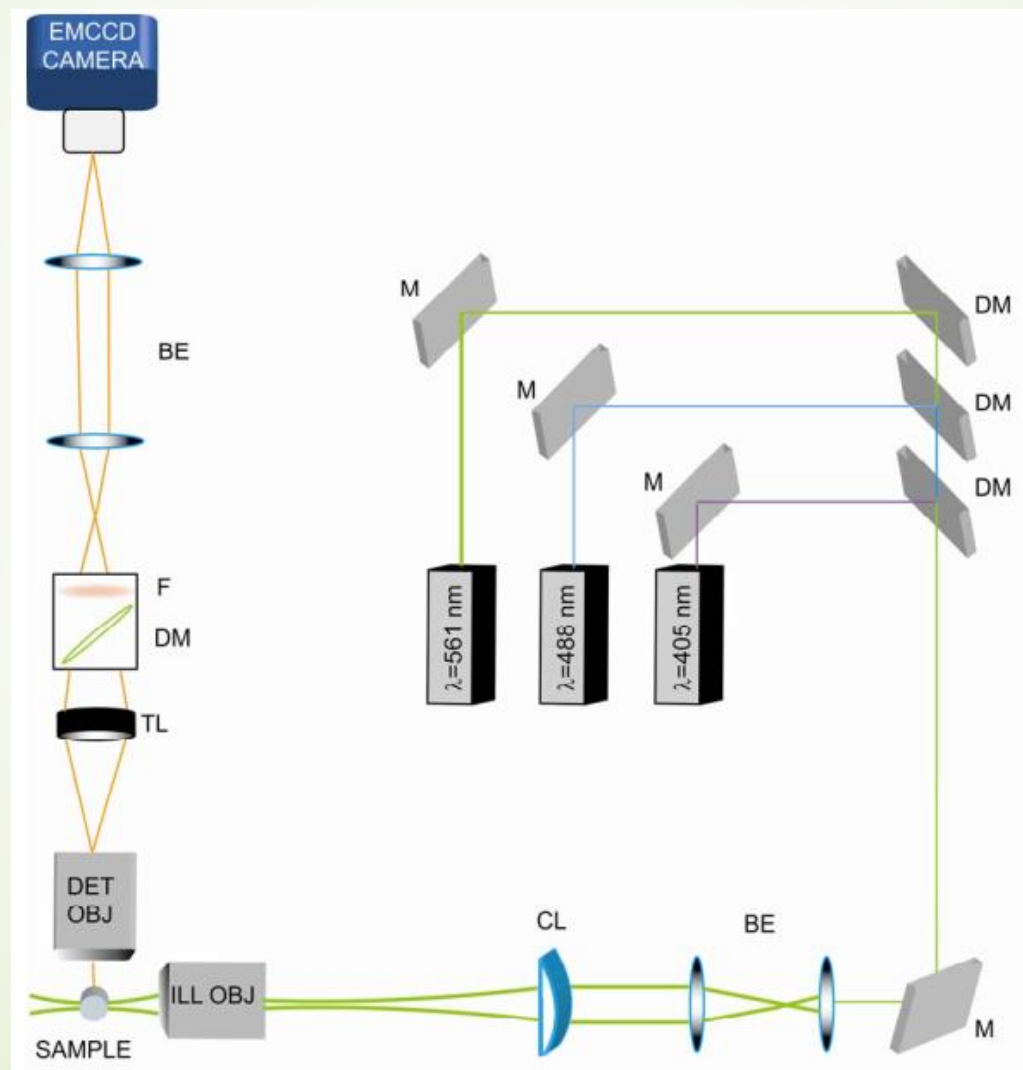
- ➡ 成像质量受反射镜表面粗糙度影响
- ➡ 反射镜制造过程复杂（如图）



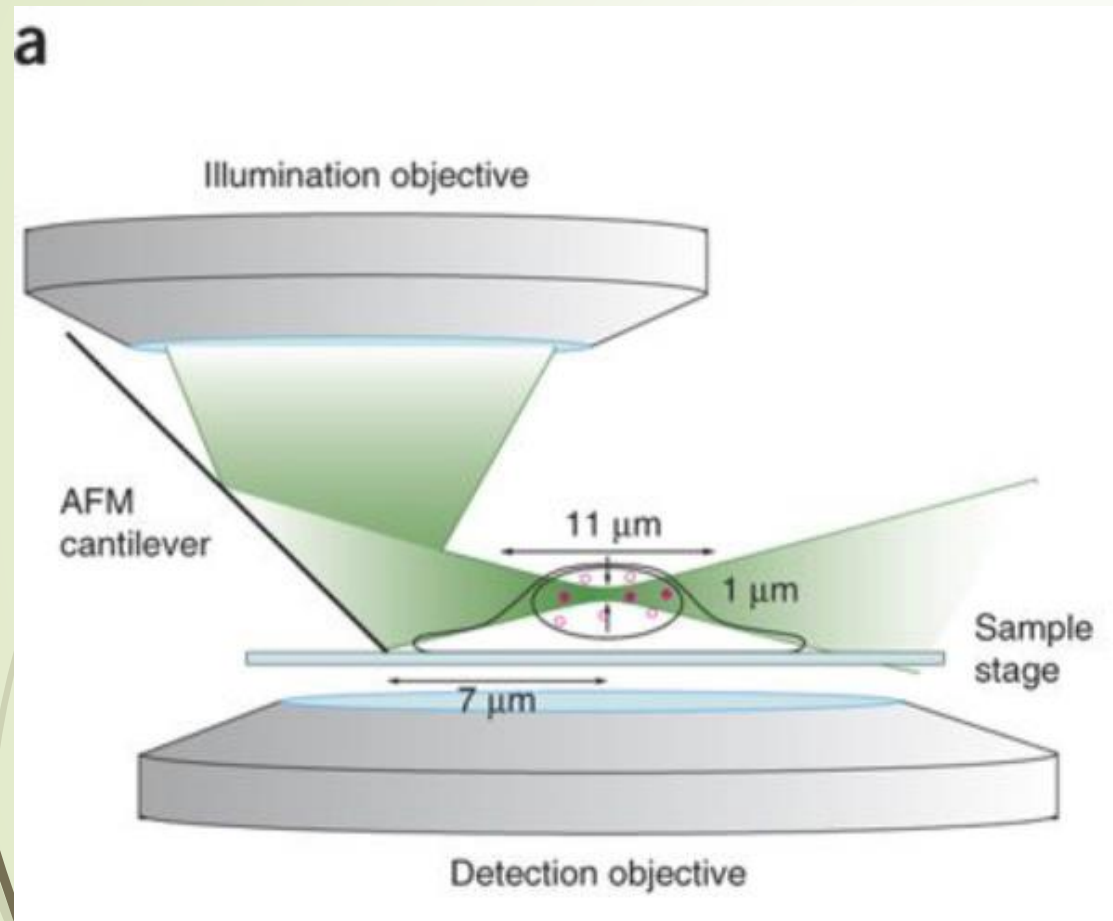


4. Individual Molecule Localization- Selective Plane Illumination Microscope (IML-SPIM)

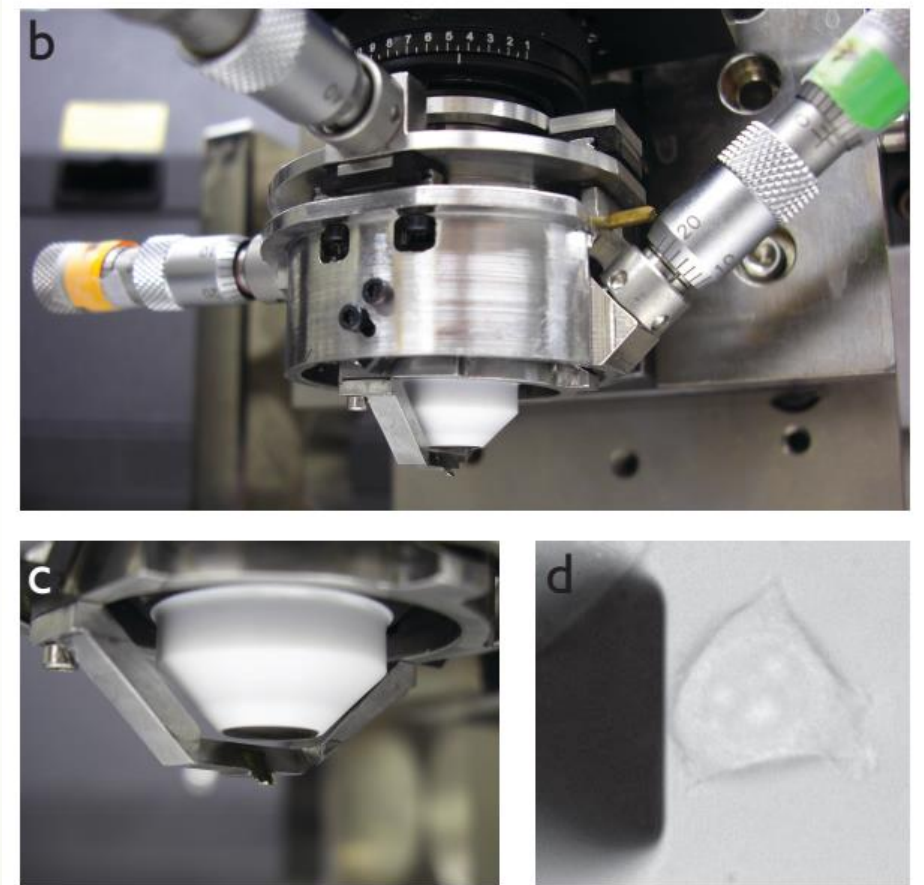
装置图



装置图



样品处光束图

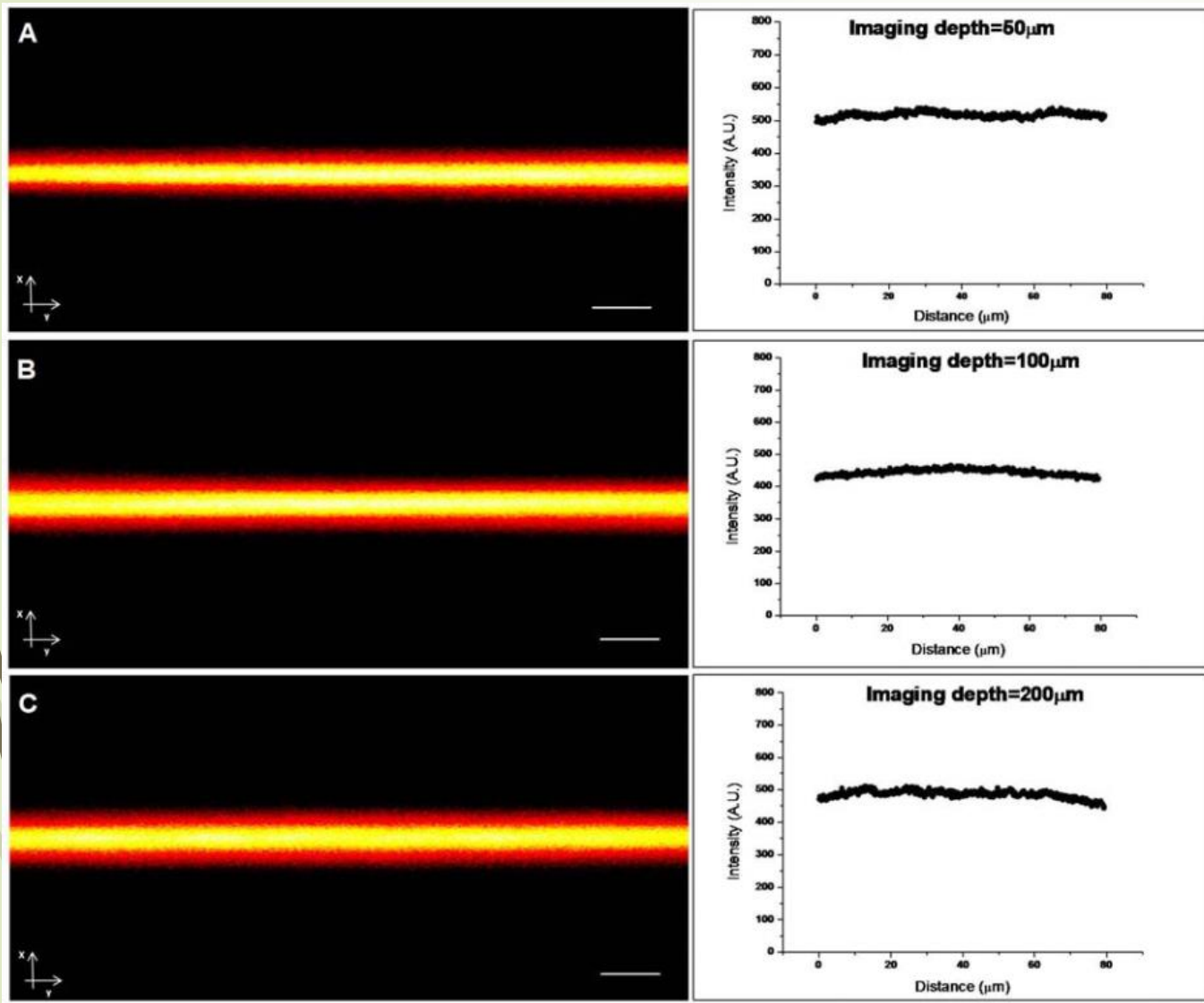


AFM Cantilever

装置

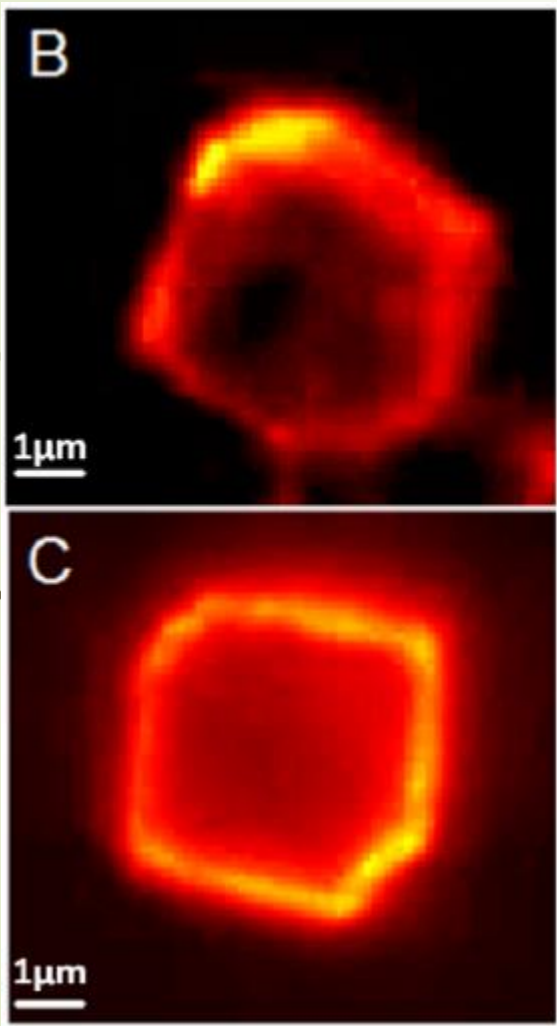
- 模板：普通SPIM
- 光源：Coherent Cube 405 nm–100 mW, Coherent Sapphire OPSL 488 nm, 200 mW, Coherent Sapphire OPSL 561 nm, 200 mW
- 扩束：Thorlabs AC254–030–A–ML, focal length $f_1 = 30$ mm and Thorlabs AC254–060ML, $f_2 = 60$ mm
- 光片形成：Thorlabs LJ1653L1–A $f = 200$ mm
- 照明物镜：Nikon Plan, $10\times$, NA 0.3
- 探测物镜：HCX APO L U–V–I $40\times$, NA 0.8 or CFI Plan $100\times$ W, NA 1.1
- 探测光路：Thorlabs AC254200–A–ML
- EMCCD：Andor Ixon DU–897E–CS0BV
- 扫描：（移动样品）Physik Instrumente PI M-105.10 (x, y), Physik Instrumente PI M-110.1DG (z)

光片特性



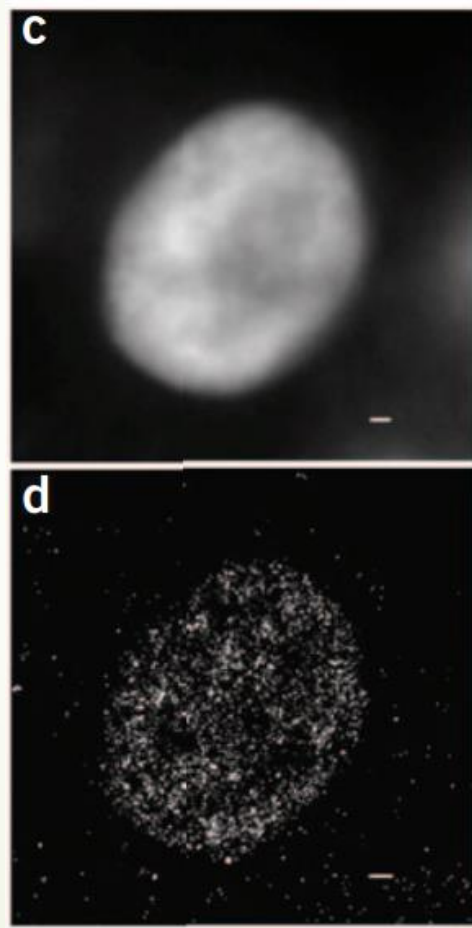
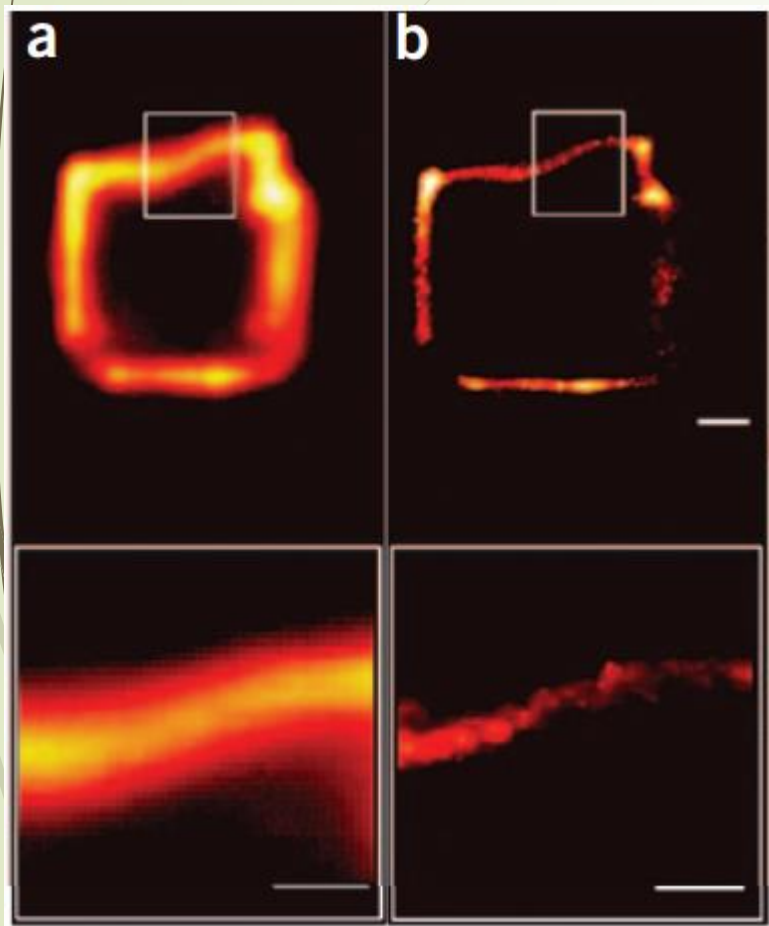
因为结合了超分辨显微技术，对于光片厚度没有很高的要求，这里仅对光强度进行了分析。
证明了光片在整个视场中没有明显的衰减

信噪比提高



b: SPIM c: wide-field
488 nm (0.9 kW/cm²) and same exposure time (100ms)

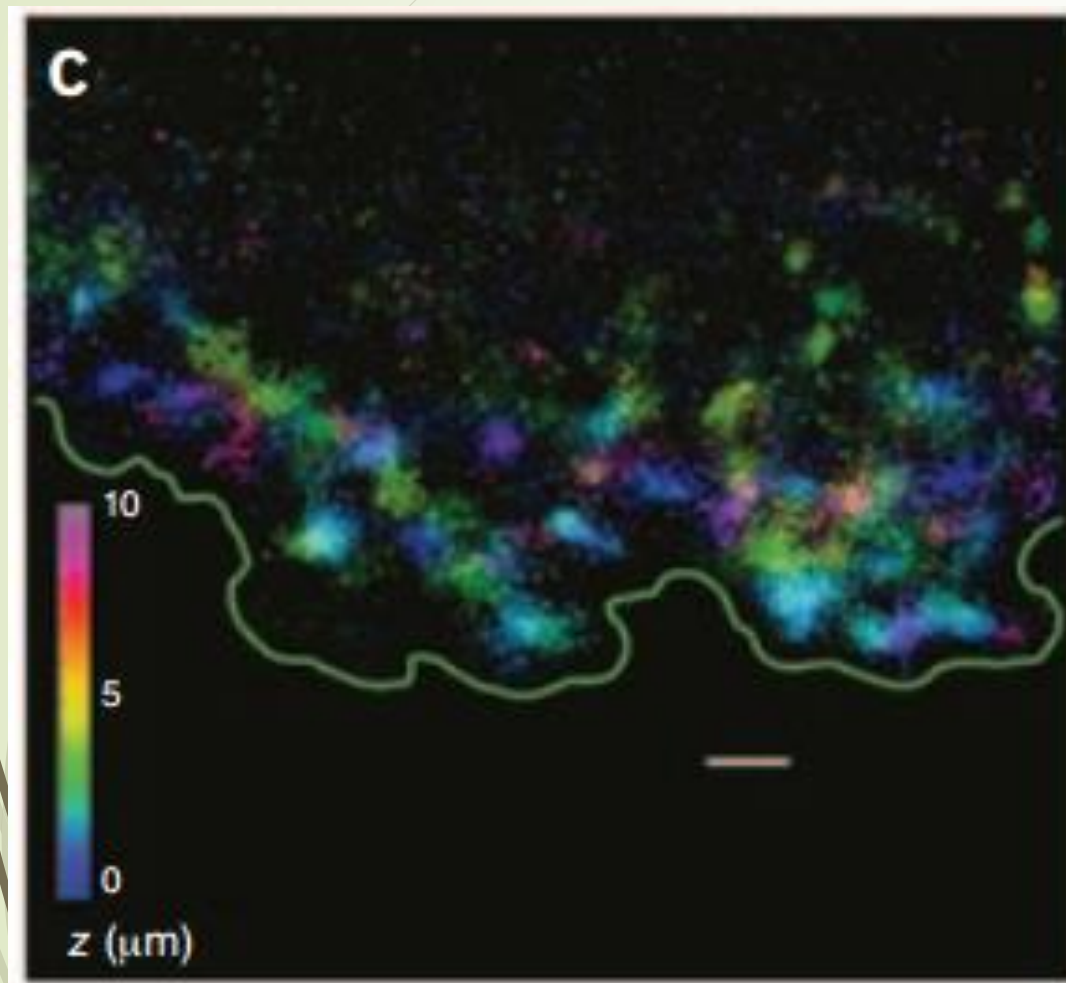
结果图




a, c: 普通的SPIM显微镜,
b, d: 结合单分子定位技术之后, IML-SPIM是通过
分析10000帧图像后得出的 (33帧/秒)
比例尺: 1微米

实现了横向分辨率小于35nm, 轴向分辨率65nm-¹

结果图



IML-SPIM得到的3D重建图像，其中颜色代表深度，
比例尺：1微米



特点

- 将SPIM技术与远场单分子定位技术相结合



5. π SPIM

装置图

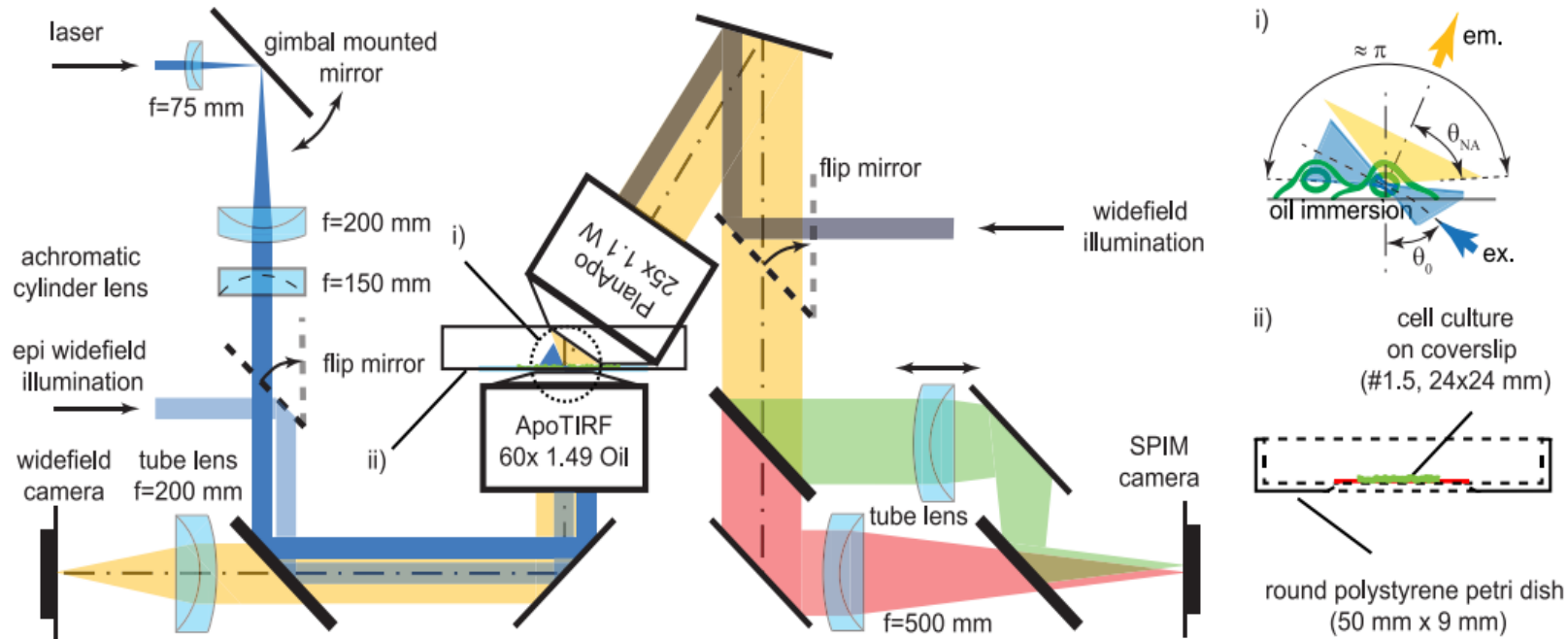
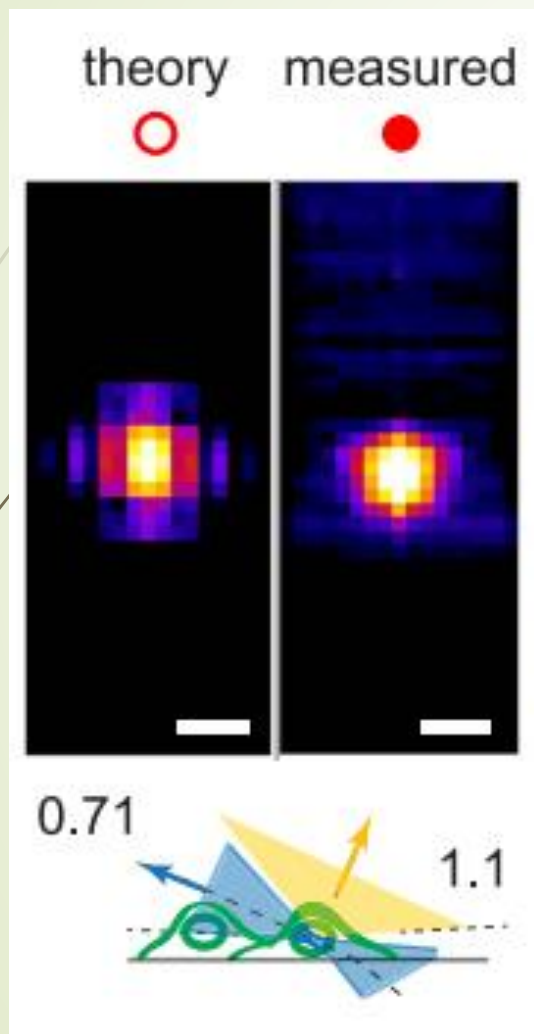


Figure 1. π SPIM set-up. Schematic dual-color π SPIM set-up with an oblique light-sheet produced by off-center passage of the beam through the illumination lens (1.49 ApoTIRF 60 \times), and the detection lens (1.1 W, 25 \times) arranged orthogonally to the oblique light-sheet. (i) Close-up of the focal region showing the angular range of the complementing illumination and emission cones. (ii) Mid-plane cross-section of the glass-bottom dish used for sample mounting.

装置

- 光源: Mambo 594 nm 25 mW and MLD 488 nm 60 mW, both Cobolt
- combiner dichroic (LM01-503-25, Semrock), 用来耦合激光
- 扩束: AC254-075-A-ML $f = 75$ mm, Torlabs and MXA20696 $f = 200$ mm, Nikon)
- 光片形成: ACY254-150-A, $f = 150$ mm, Torlabs
- 照明物镜: ApoTIRF 60×1.49 NA, Nikon or PlanApo 100×1.27 NA
- 探测物镜: (water dipping) HCX APO L U-V-I $40 \times$, NA 0.8 or CFI Plan $100 \times$ W, NA 1.1, with correction ring for spherical aberration
- 探测光路: MXA20696, $f = 200$ mm, Nikon
- CMOS: GS3-U3-23S6M-C, Point Grey Research Inc
- 扫描: 样品架由沿x-y方向的两个微米平移台驱动 (Physik Instrumente PI M-105.10) (Physik Instrumente PI M-110.1DG) (Physik Instrumente PI M-116.DG)

性能参数



c)

$NA_{exc.}$

$\gamma=1$

$n=1.33$

1.2

1.0

0.8

0.6

0.4

0.2

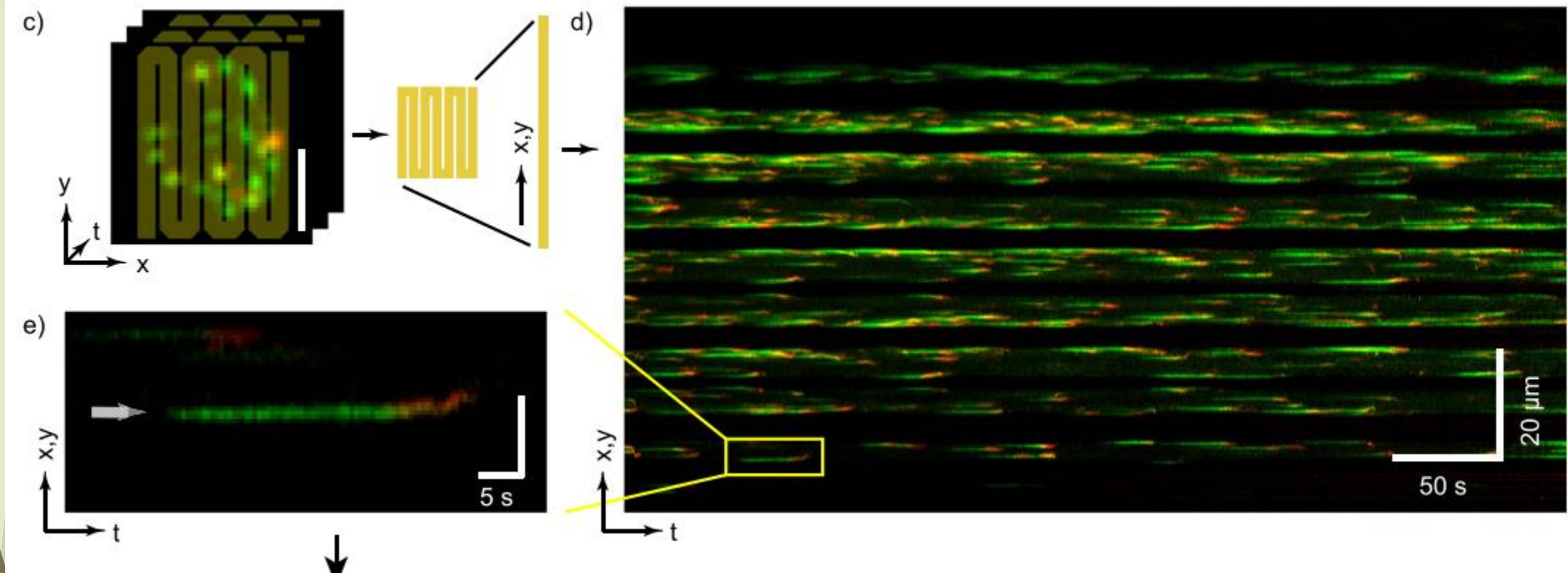
$\gamma=0.3$


0.2 0.4 0.6 0.8 1.0 1.2

$NA_{det.}$

The graph shows a series of curves representing the relationship between $NA_{exc.}$ (y-axis) and $NA_{det.}$ (x-axis) for a refractive index $n=1.33$. The curves are labeled with γ values ranging from 0.3 to 1.0. A red circle marks a specific point on the curve for $\gamma=1$.

结果图





特点

- ➡ 以倒置型显微镜为模板

其他信息

| Mode | Objective(s) | NA | Resolution (FMWH)/nm | | Anisotropy | Focal volume/fl |
|-------------|--------------------------|-----------|----------------------|-------------------|-----------------|-----------------|
| <i>type</i> | | | <i>x,y (theory)</i> | <i>z (theory)</i> | <i>(theory)</i> | <i>(theory)</i> |
| widefield | PlanApoW25× | 1.1 | 274 (240) | 785 (801) | 0.35 (0.30) | 0.072 (0.057) |
| π SPIM | PlanApoW25× & ApoTIRF60× | 1.1/1.49* | 284 (212) | 339 (285) | 0.84 (0.74) | 0.057 (0.023) |
| widefield | PlanApoW60× | 1.27 | 250 (203) | 648 (510) | 0.39 (0.40) | 0.052 (0.027) |

其他信息

| Technique | Resolution (FMWH)/nm | | Reference |
|--------------------------|----------------------|------------------|---------------------------------------|
| | x, y | z | |
| 4π microscopy | 280 | 190 | Bahlman <i>et al.</i> ²³ |
| LSM | 435 ¹ | 482 ¹ | Capoulade <i>et al.</i> ¹¹ |
| LSM (Bessel 2PE) | — | 490 | Planchon <i>et al.</i> ²⁴ |
| Bessel plane SR-SIM | 185/238 | 348 | Gao <i>et al.</i> ¹² |
| Lattice light-sheet | 230 ² | 370 ² | Chen <i>et al.</i> ¹³ |
| π SPIM | 284 | 339 | this work |
| widefield 1.27 NA | 250 | 648 | this work |
| widefield 1.49 NA (TIRF) | 222 | 504 | Theer <i>et al.</i> ¹⁴ |

Table 2. Overview of previously published resolution performances. Abbreviations: LSM, light-sheet microscopy; 2PE, two-photon excitation; SIM, structured illumination microscopy; ¹calculated from given $1/e^2$ radii; ²theoretical value.

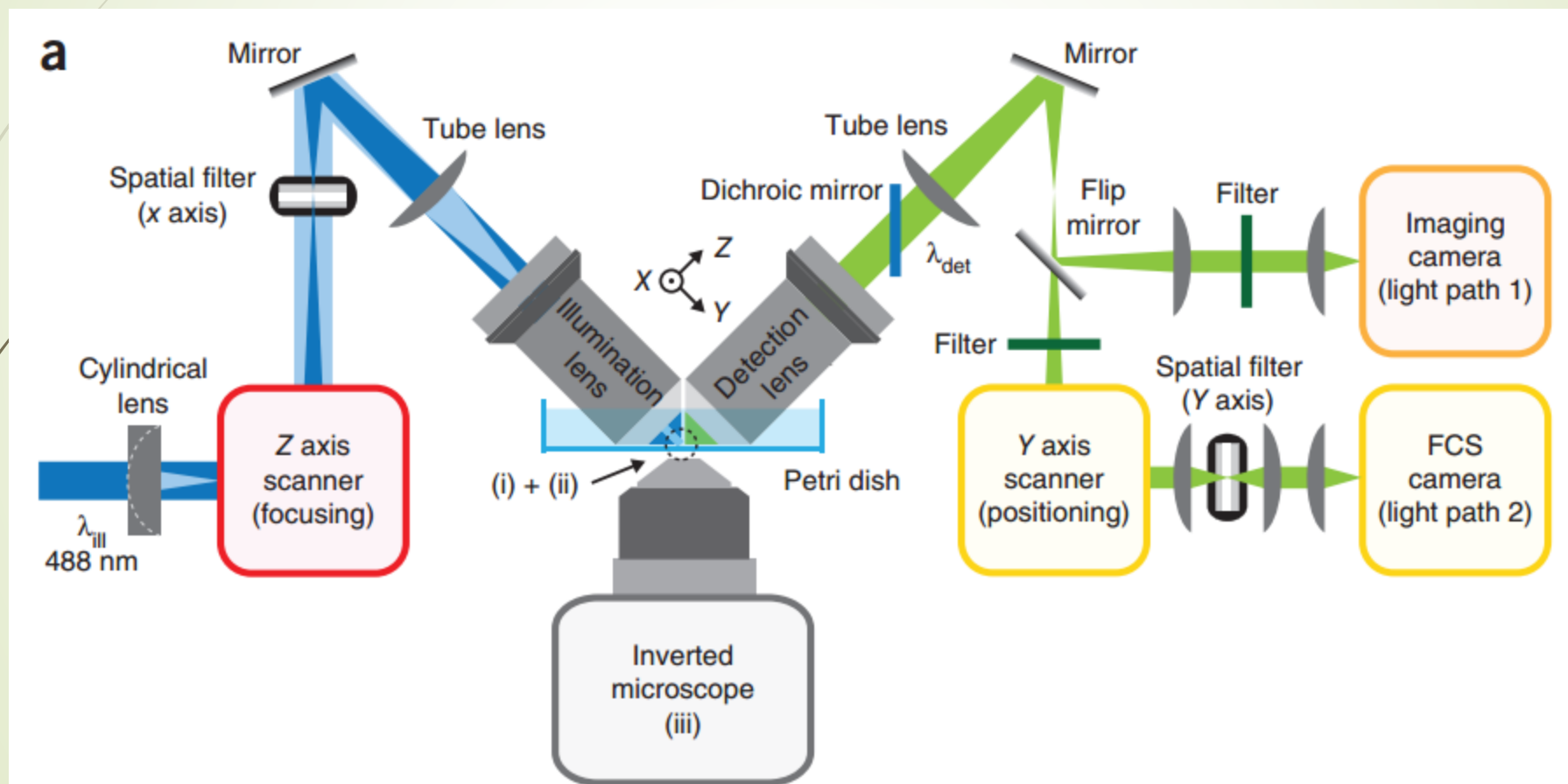


6. SPIM combined with fluorescence correlation spectroscopy (FCS)

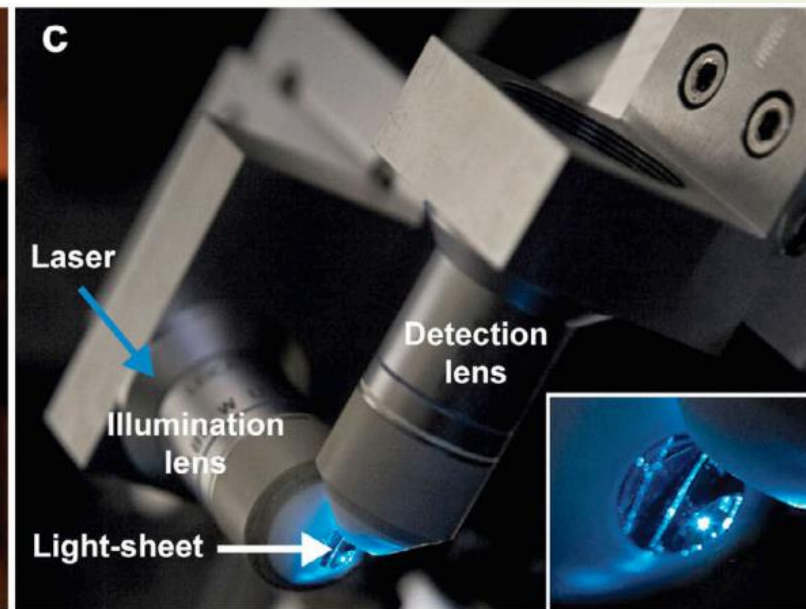
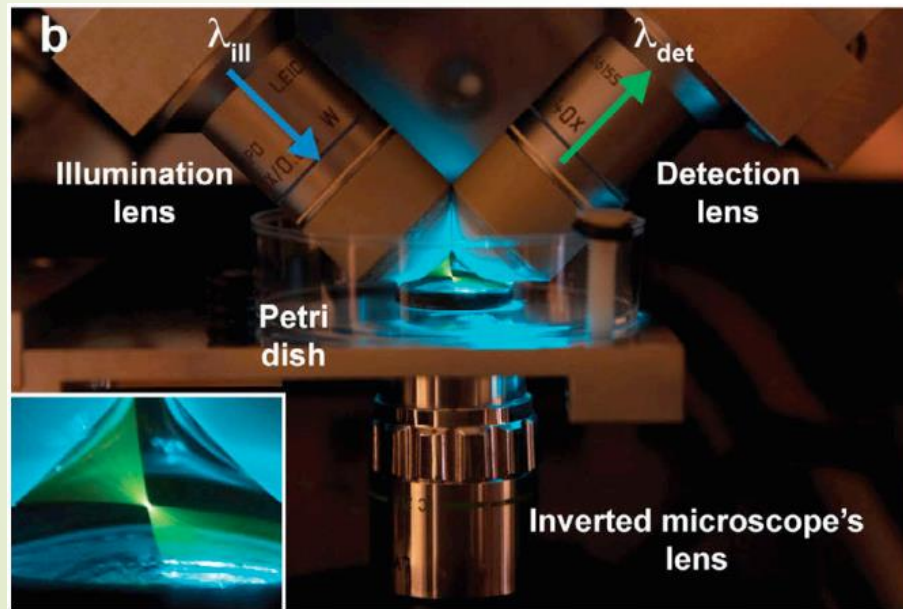
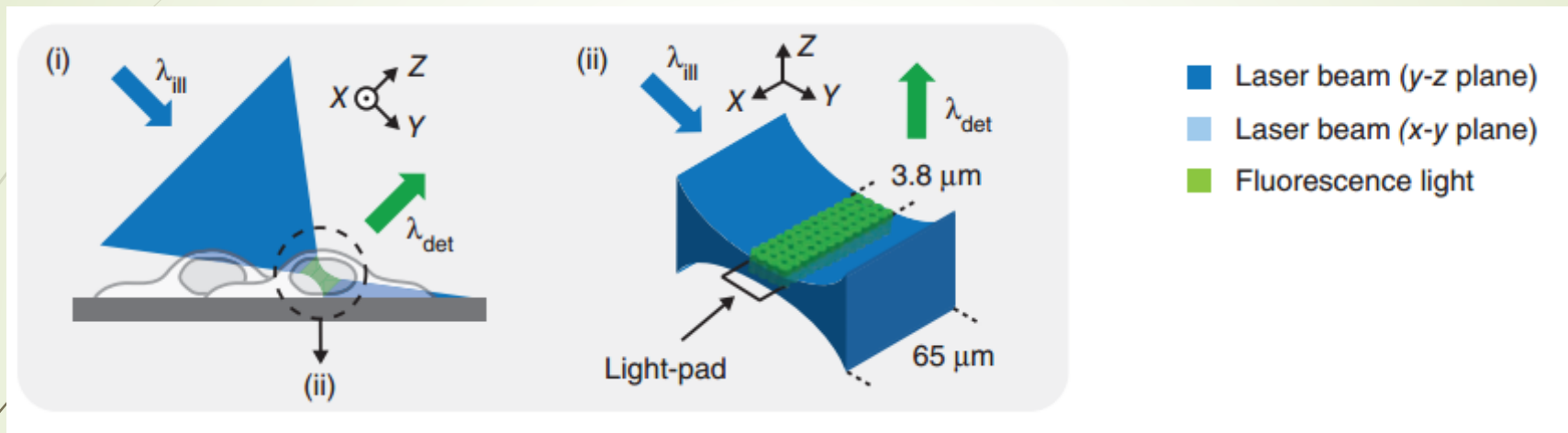
简单介绍

- FCS技术介绍：Fluorescence correlation spectroscopy (FCS) is an experimental technique using statistical analysis of the fluctuations of fluorescence in a system in order to decipher dynamic molecular events, such as diffusion or conformational fluctuations of biomolecules.
- FCS技术仅仅是出于特定目的的数字信号处理技术，在硬件光路部分和普通的SPIM基本一致。

装置图



光片位置图



装置

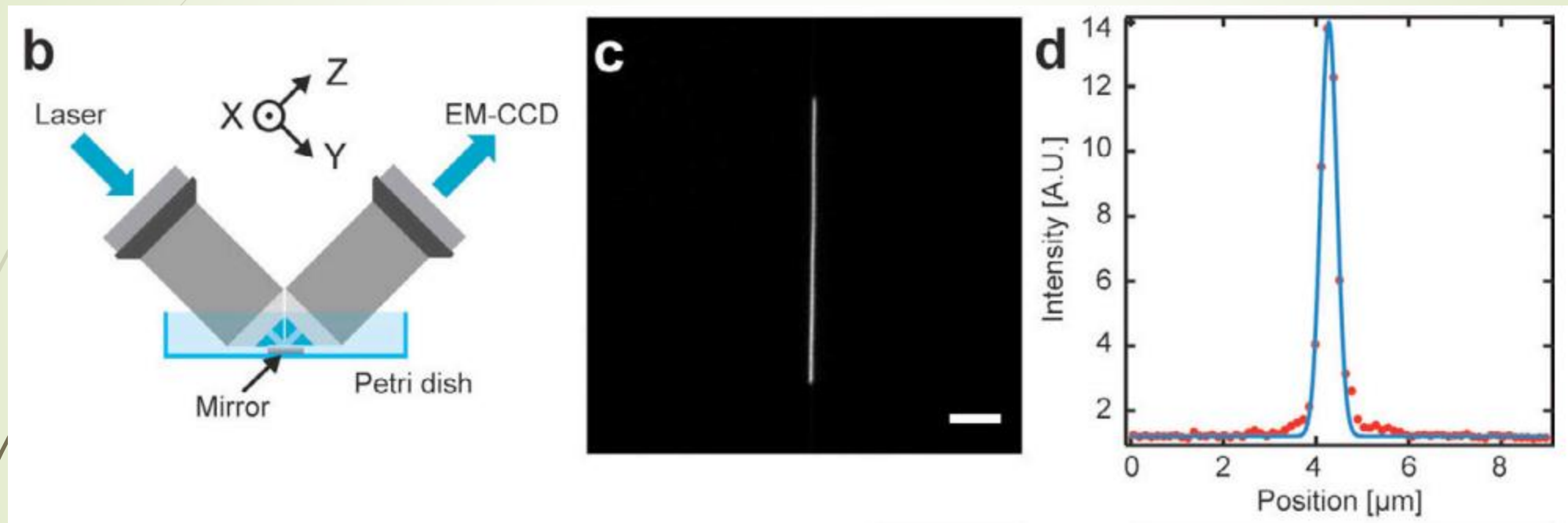
- 光源: 488 nm line of an argon laser (Innova Sabre, Coherent) , power: 2w
- 扩束: ?
- 光片形成: a cylindrical lens ($f = 75.6$ mm, Thorlabs)
- 照明物镜 (探测物镜) : (water-dipped)Plan-Apochromat $40\times/0.8$ NA, Leica
- EMCCD/cMOS: QuantEM:512SC, Photometrics
- 扫描: three-axis motorized stage (stepper motors: LN-Mini23 manipulator block XY and LN-Mini Z vario, Cell Biology Trading/Luigs & Neumann) , 位移精度 50nm



软件控制

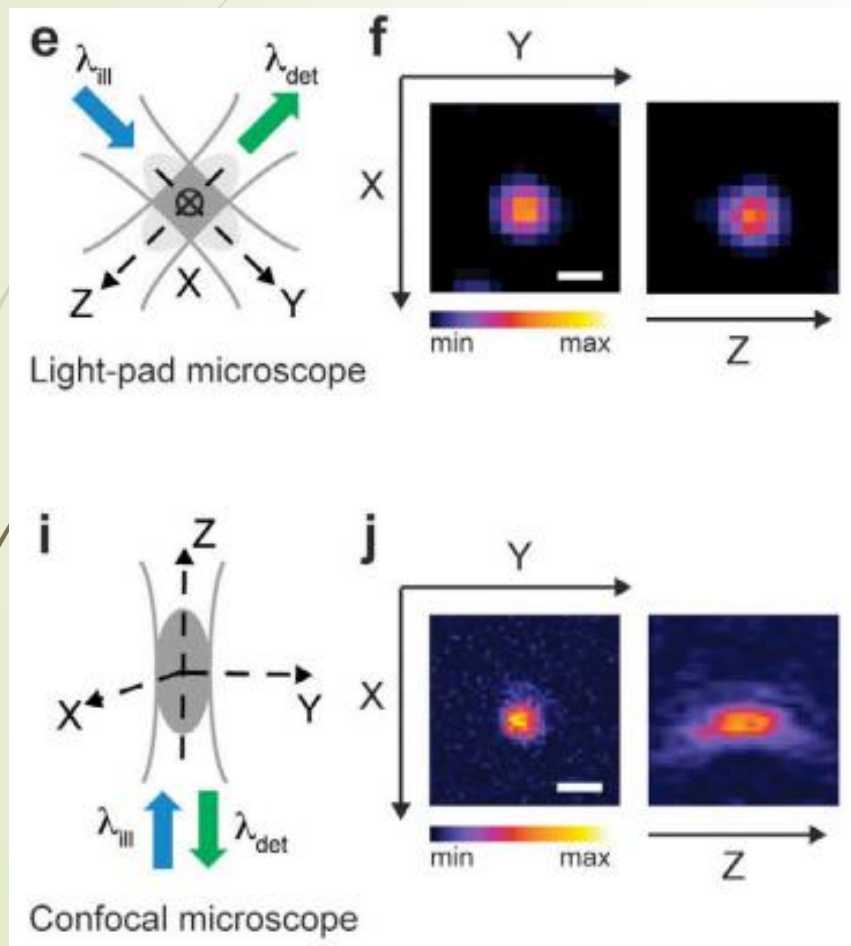
- ➡ LabView: 控制扫描
- ➡ Self-written C++: 存储图像

光片特性



测得的光片厚度：700nm(误差10nm)

成像特性



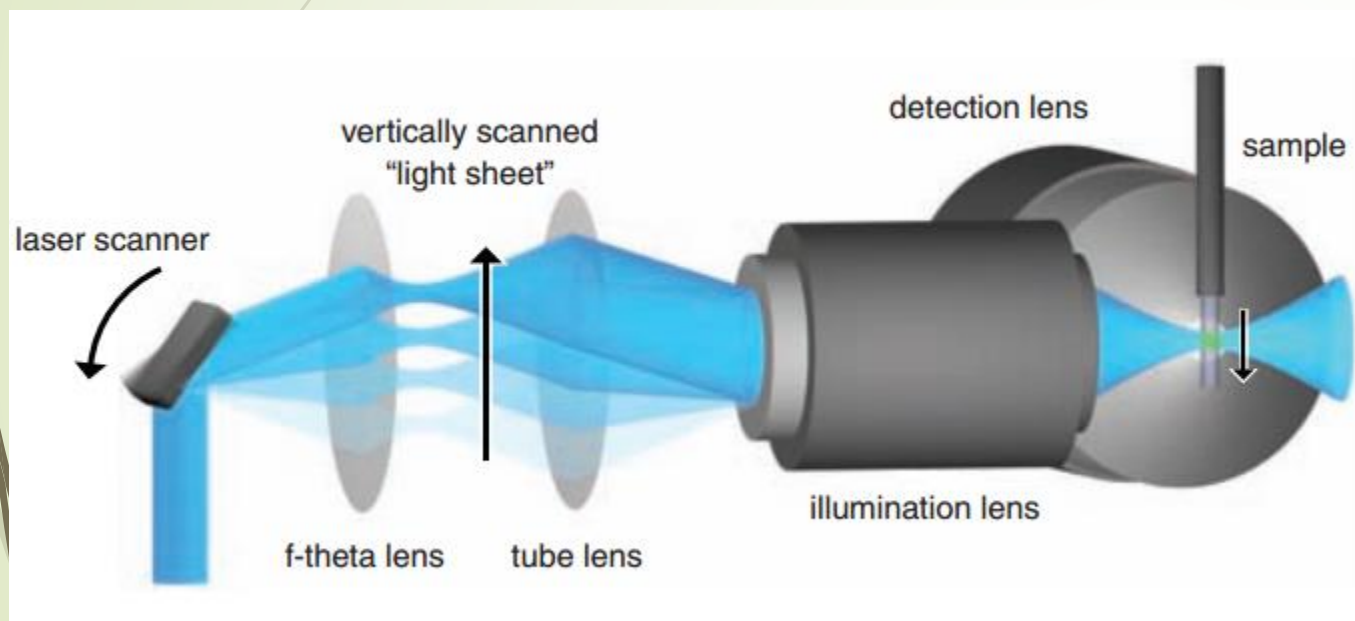
方法：
通过对一个直径20nm的荧光珠进行成像

点扩散函数性质：
Lateral: 370nm(误差20nm)
Axial: 410nm(误差40nm)



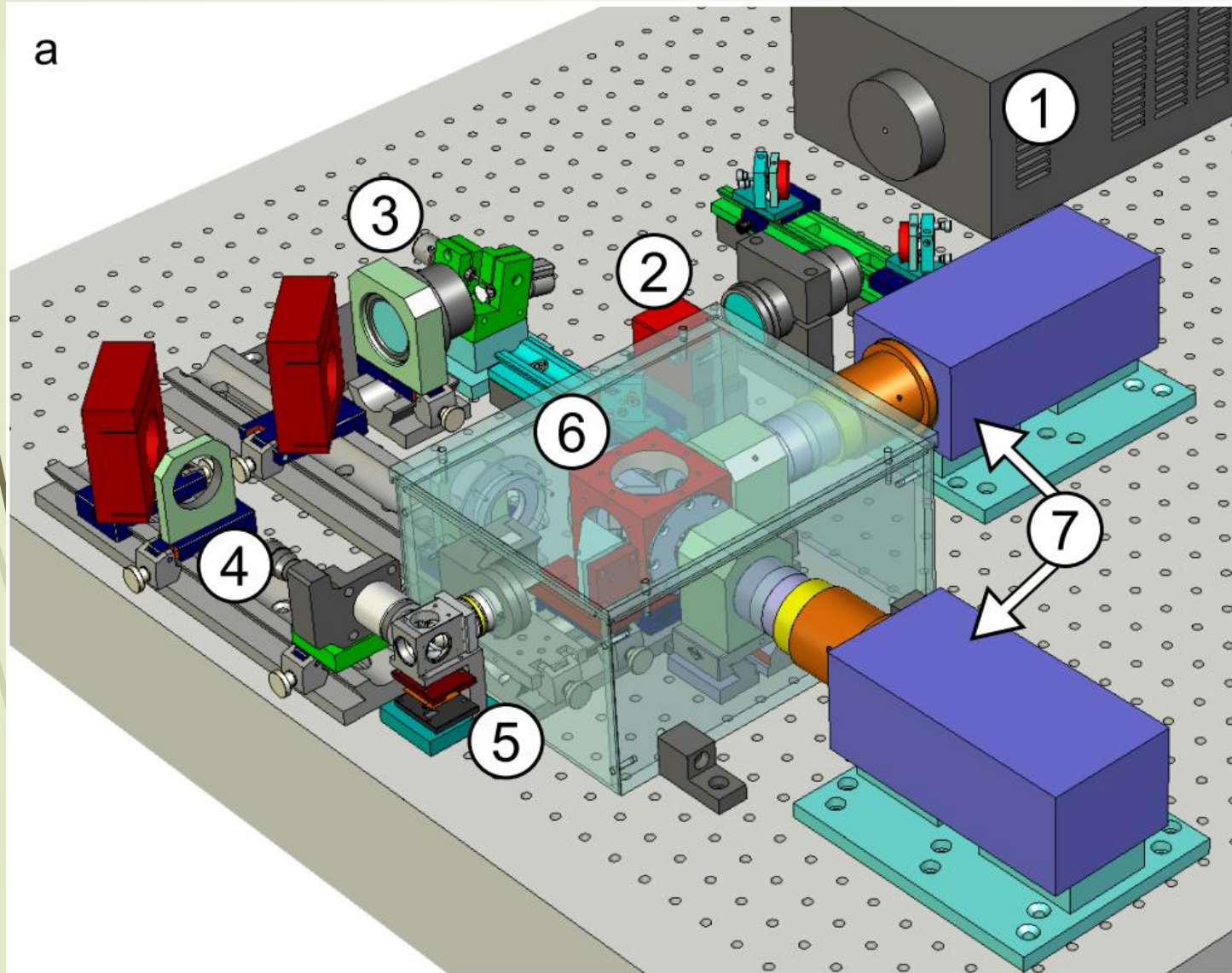
7. Digital scanned laser light sheet fluorescence microscopy(DSLM)

扫描原理



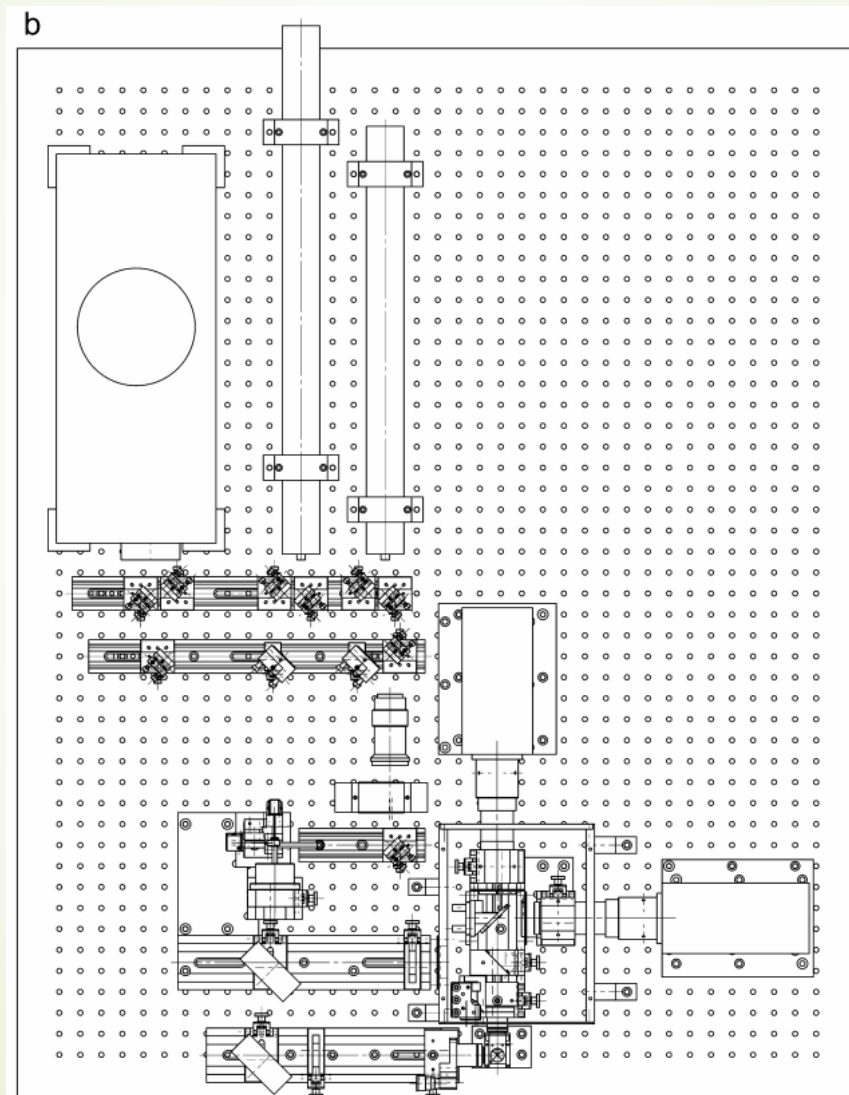
DSLM的原理是使用一束快速摆动的激发光形成一个虚拟的“光片”，通过恒定扫描速度的控制来实现均匀光片的产生。f-theta透镜的作用是讲光束的倾斜摆动转化为光束在垂直方向的位移，从而实现扫描。

示意图



1. 光源 laser light source
2. 声光可调谐滤波器 acousto-optical tunable filter
3. 扫描装置 (f-theta 透镜) the laser scanner
4. 照明光路 beam illumination arm
5. 样品温控装置 the temperature-controlled specimen chamber
6. 探测光路
7. 两个独立的相机

示意图



装置

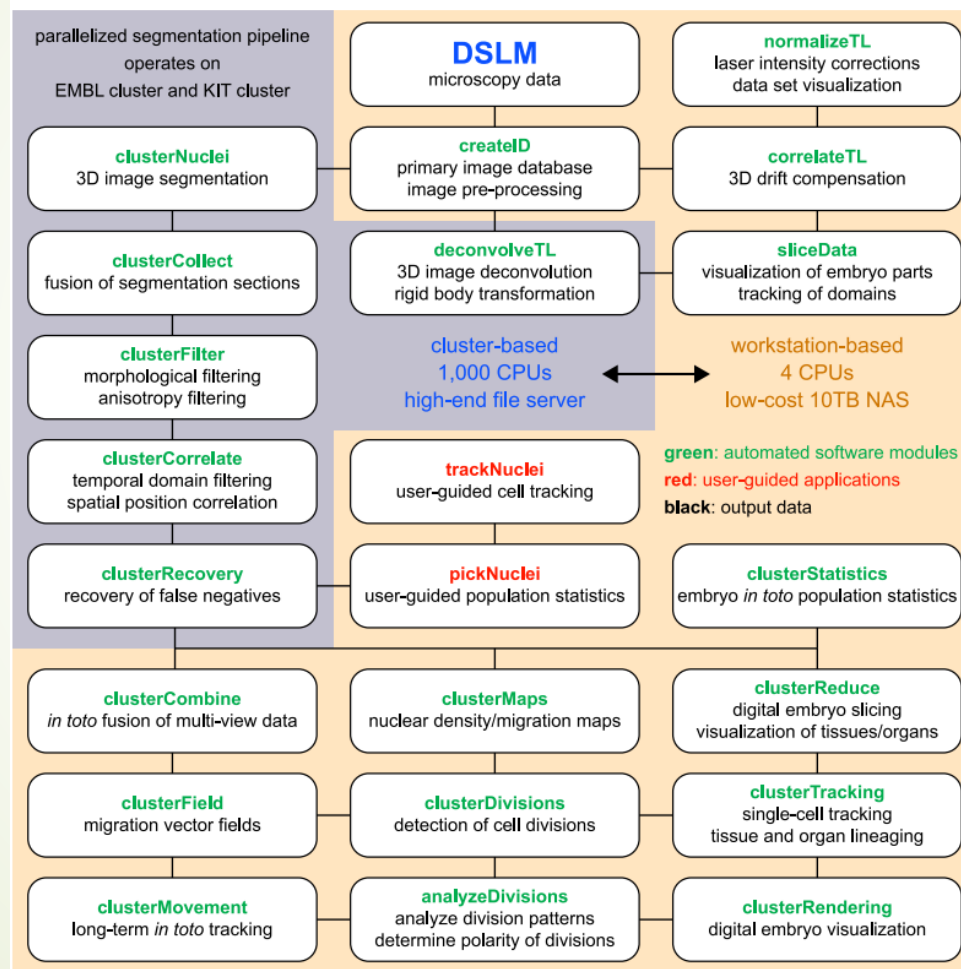
- 光源：多线氩氮激光器 Melles Griot, 35 LTL 835-230
- ATOF: AA Opto-Electronic, AA.AOTF.nC-400-650nm-PV-TN
- 扫描：一个双轴高速扫描头 GSI Lumonics, VM500+ , f-theta透镜： Sill Optics, S4LFT0061/065*
- 照明物镜： Carl Zeiss, Plan-Apochromat 5x/0.16
- 探测物镜：（多种选择） Carl Zeiss: Plan-Neofluar 2.5x/0.075, Fluar 5x/0.25, C-Apochromat 10x/0.45 W, PlanApochromat 20x/1.0 W or Plan-Apochromat 63x/1.0 W
- 镜头对焦： a piezo nanofocus (Physik Instrumente, P-725.CLQ)
- CCD: the pco.2000 CCD camera from PCO AG
- a specimen positioningsystem: three linear translation stages (Physik Instrumente, M-111K028) and one micro-rotation stage (Physik Instrumente, M-116.DG)

软件控制

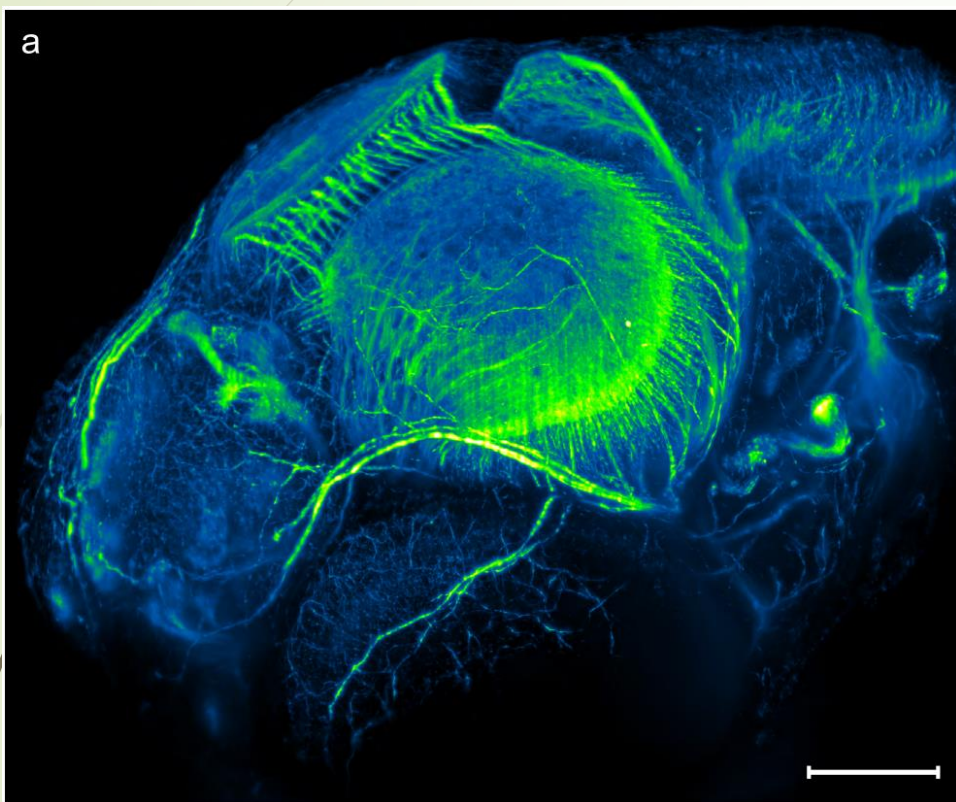
- ➡ 系统环境: .NET framework 3.0
- ➡ C#: 用户界面, 高级控制层
- ➡ C++: 低层硬件通信
- ➡ Matlab: 图像处理 (分为图像分割、数据分析)

图像处理过程

Keller *et al.* (2008); supplementary figure 4

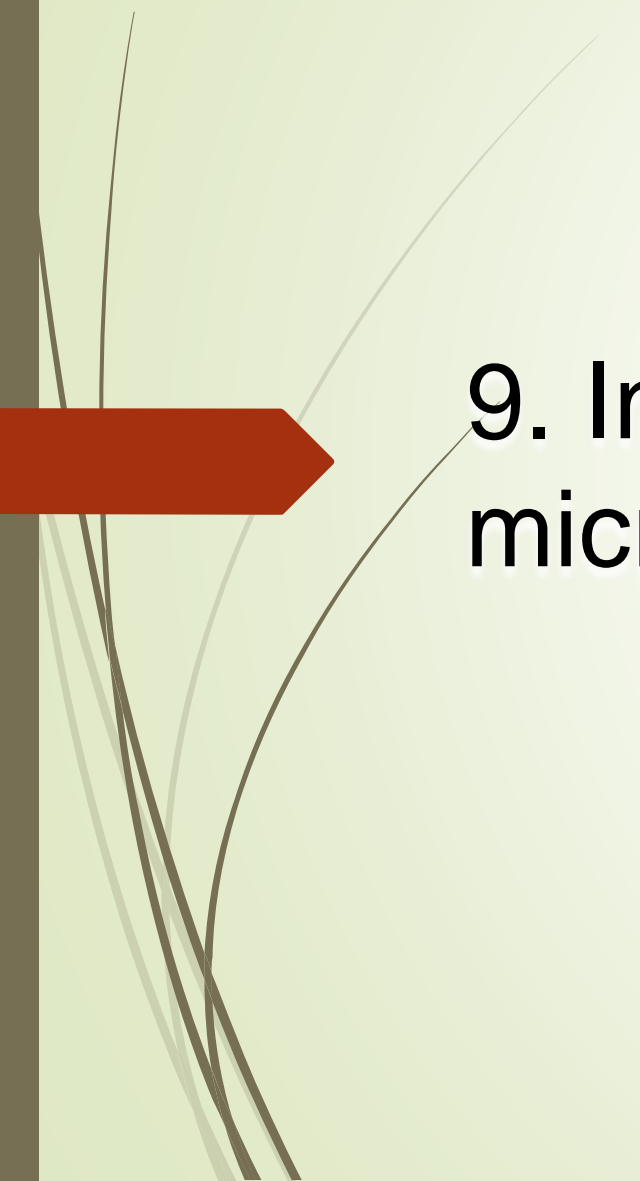


结果图



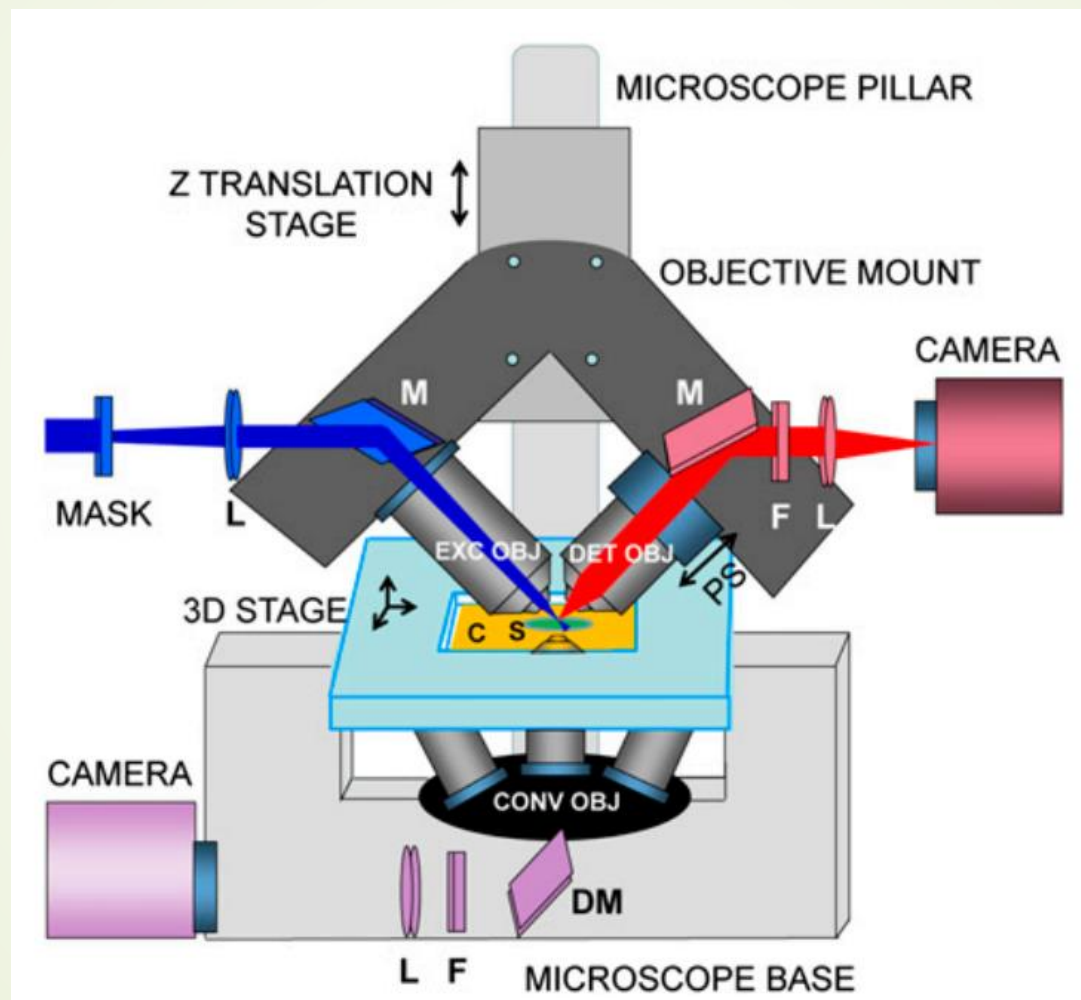
DSLM优势

- ➡ 光路得到简化
- ➡ 照明效率高：由于无需光圈来对光束进行整形，照明效率可达95%，传统的SPIM平均只有3%
- ➡ 成像速度比普通SPIM提高了至少了两倍
- ➡ 装置紧凑：除去光源外，占地0.3平方米
- ➡ 对于扫描的控制更加灵活
- ➡ 费用相对较低：除去电子系统（电脑）以及软件，共耗费8万欧

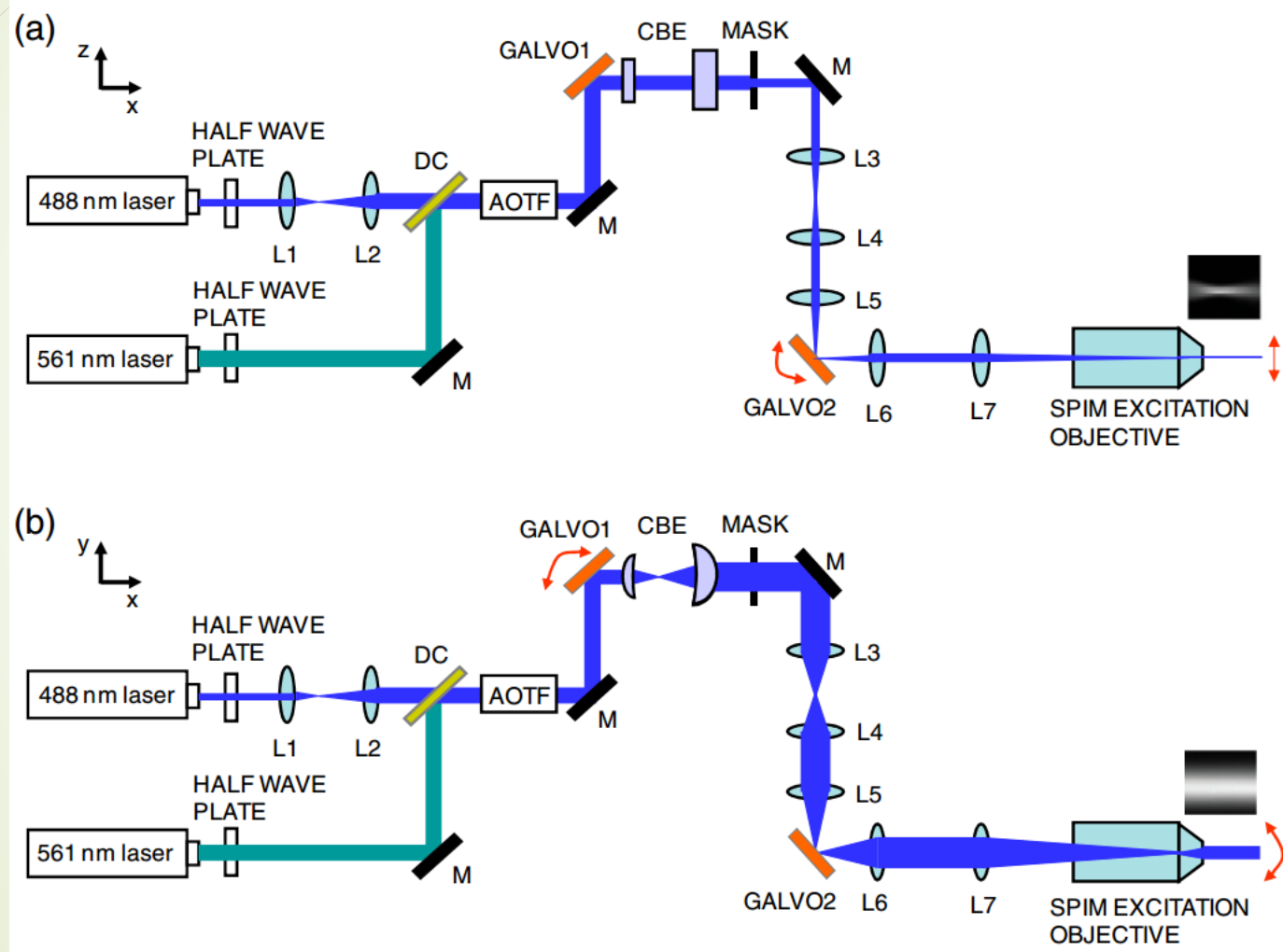


9. Inverted selective plane illumination microscopy(iSPIM)

装置图



装置图



装置

- 模板：普通SPIM
- 光源：Coherent Cube 405 nm–100 mW, Coherent Sapphire OPSL 488 nm, 200 mW, Coherent Sapphire OPSL 561 nm, 200 mW
- 扩束：Thorlabs AC254–030–A–ML, focal length $f_1 = 30$ mm and Thorlabs AC254–060ML, $f_2 = 60$ mm
- 光片形成：Thorlabs LJ1653L1–A $f = 200$ mm
- 照明物镜：Nikon Plan, $10\times$, NA 0.3
- 探测物镜：HCX APO L U–V–I $40\times$, NA 0.8 or CFI Plan $100\times$ W, NA 1.1
- 探测光路：Thorlabs AC254200–A–ML
- EMCCD：Andor Ixon DU–897E–CS0BV
- 扫描：（移动样品）Physik Instrumente PI M-105.10 (x, y), Physik Instrumente PI M-110.1DG (z)



结果图



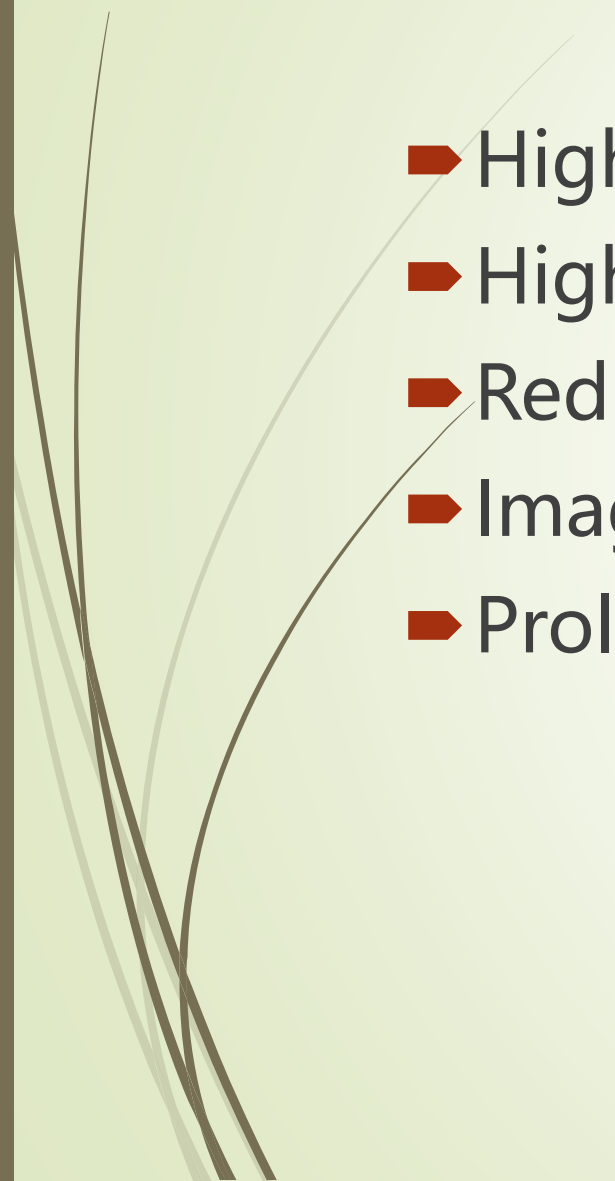


特点

- 将SPIM技术与远场单分子定位技术相结合
- 



LSFM (SPIM) 的优势

- High sectioning capability
 - High contrast
 - Reduced photo bleaching and toxicity
 - Imaging speed
 - Prolonged duration
- 

挑选LSFM时的关注点

- 示意图 (setup)
- 分辨率 (横向、纵向, 极限200nm)
- 兼容性 (工作距等)
- 数据采集、图像处理方法 (图像重建)



谢谢！